

**PRARANCANGAN PABRIK ASETANILIDA
DARI ANILIN DAN ASAM ASETAT KAPASITAS 40.000
TON/TAHUN**

(Skripsi)

**Tugas Khusus
Perancangan Reaktor (RE-101)**

Oleh:

Shidiq Permana Jati

1915041042



**JURUSAN TEKNIK KIMIA
FAKULTAS TEKNIK
UNIVERSITAS LAMPUNG
2024**

MENGESAHKAN

1. Tim Pengaji

Ketua

: Taharuddin, S.T., M.Sc.

580

Sekretaris

: Panca Nugrahini, S.T., M.T.

Pengaji

Bukan Pembimbing

: Simparmin Br. G, S.T., M.T.

Dr. Lilis Hermida, S.T., M.Sc.

2. Dekan Fakultas Teknik Universitas Lampung

Dr. Eng. Ir. Helmy Fitriawan, S. T., M. Sc.

NIP. 197509282001121002

Tanggal Lulus Ujian Skripsi : 25 September 2024



Dipindai dengan CamScanner

Judul Skripsi

: PRARANCANGAN PABRIK ASETANILIDA
DARI ANILIN DAN ASAM ASETAT
KAPASITAS 40.000 TON/TAHUN
(Perancangan Reaktor (RE - 101))

Nama Mahasiswa

: Shidiq Permana Jati

Nomor Pokok Mahasiswa

: 1915041042

Jurusan

: Teknik Kimia

Fakultas

: Teknik



Taharuddin, S.T., M.Sc.
NIP. 197001261995121001

Panca Nugrahini, S.T., M.T.
NIP. 197302032000032001

Ketua Jurusan Teknik Kimia

Yuli Darni, S.T., M.T.
NIP. 197407122000032001

dengan CamScanner

PERNYATAAN

Dengan ini saya menyatakan bahwa dalam skripsi ini tidak terdapat karya yang pernah dilakukan oleh orang lain dan sepanjang sepengetahuan saya juga tidak terdapat karya atau pendapat yang ditulis atau diterbitkan oleh orang lain, kecuali yang tertulis diacu dalam naskah ini sebagaimana diterbitkan dalam daftar pustaka. Selain itu saya menyatakan pada skripsi ini dibuat oleh karya saya sendiri.

Apabila penyataan saya ini tidak benar, maka saya bersedia dikenakan sanksi sesuai hukum yang berlaku.

Bandarlampung, 4 Oktober 2024



Shidiq Permana Jati

NPM. 1915041042



Dipindai dengan CamScanner

RIWAYAT HIDUP



Penulis dilahirkan di Bekasi, pada tanggal 15 November 2002 sebagai anak ketiga dari empat bersaudara dari Bapak Nursasih dan Ibu Asri Astuti. Penulis menyelesaikan pendidikan Sekolah Dasar di SD Al Muslim (Tambun, Bekasi) pada tahun 2014, Sekolah Menengah Pertama di SMP Al Muslim pada tahun 2017, Sekolah Menengah Atas di SMA Negeri 2

Tambun Selatan. Pada tahun 2019 penulis terdaftar sebagai Mahasiswa Jurusan Teknik Kimia Fakultas Teknik Universitas Lampung melalui jalur masuk Seleksi Bersama Masuk Perguruan Tinggi Negeri (SBMPTN).

Selama menjalani masa perkuliahan, Penulis aktif dalam organisasi kemahasiswaan yaitu Himpunan Mahasiswa Teknik Kimia (HIMATEMIA) FT Unila. Pada tahun 2020 – 2021 penulis menjadi Staf Departemen Minat dan Bakat, pada tahun 2021 – 2022 penulis menjabat sebagai Kepala Departemen Kerohanian HIMATEMIA FT Unila.

Dalam kegiatan perkuliahan, penulis melakukan Kerja Praktik di PT. Buma Cima Nusantara (PT. BCN Bungamayang), Lampung Utara pada tahun 2022 dengan Tugas Khusus “Evaluasi Kinerja Alat Defekaator I dan Defekator II”. Pada tahun 2022, penulis melakukan Kuliah Kerja Nyata

(KKN) di Desa Puseurjaya, Karawang Provinsi Jawa Barat. Selain itu, penulis melakukan Penelitian pada Tahun 2023 dengan judul “IMOBILISASI ENZIM ALFA-AMILASE PADA SILIKA MCF (*Mesostructured Cellular Foam*) ASAL BBA (*Bagasse Bottom Ash*) UNTUK HIDROLISIS PATI TAPIOKA”

Motto dan Persembahan

“why to be normal when you can be the greatest”

(*Shidiq Permana Jati*)

“Everything will be alright in the end. if it’s not all right, then
it’s not the end”

(*Dev Patel*)

“If you know you are going to fail, then fail gloriously”

(*Cate Blanchett*)

“Hidup ini memang tidak adil maka biasakanlah dirimu”

(*Patrick Star*)

“Bermimpilah dalam hidup, jangan hidup dalam mimpi”

(Andrea Hirata)

Sebuah Karya

Kupersembahkan dengan sepenuh hati:

Kepada Orang Tuaku, terimakasih banyak atas doa dan dukungannya yang tidak terhitung nilainya dan perjuangan serta jerih payah yang sudah diberikan kepada penulis yang tak terhingga.

Kepada Kakak dan Adikku, terimakasih sudah semangat dan motivasi kepada penulis selama ini.

Kepada Assya Nauri Des Harahap, terimakasih sudah memberikan banyak sekali motivasi dan semangat kepada penulis untuk menyelesaikan skripsi ini dan terimakasih untuk selalu menemaninya penulis dalam keadaan apapun dan dimanapun selama ini.

Civitas Akademis Jurusan Teknik Kimia Universitas Lampung, terimakasih atas ilmu dan pengalaman yang diberikan selama masa perkuliahan.

SANWACANA

Puji syukur penulis panjatkan kehadirat Allah SWT yang telah memberikan banyak kenikmatan dan segalanya yang membuat penulis dapat menyelesaikan Tugas Akhir yang berjudul “Prarancangan Pabrik Asetanilida dari Anilin dan Asam Asetat dengan Kapasitas 40.000 Ton/Tahun” dengan baik.

Tugas akhir ini disusun dalam rangka memenuhi salah satu syarat untuk memperoleh derajat kesarjanaan (S-1) di Jurusan Teknik Kimia, Fakultas Teknik, Universitas Lampung.

Penyusunan Tugas Akhir ini tidak lepas dari bantuan dan dukungan moral maupun spiritual dari berbagai pihak. Oleh karena itu, penulis mengucapkan terimakasih kepada:

1. Allah SWT yang Maha Esa dan Maha Pengasih serta yang Maha Pemberi Rezeki.
2. Papah, mamah, abang, dan adik yang telah memberikan semangat kepada penulis untuk menyelesaikan skripsi ini.
3. Ibu Yuli Darni S.T., M.T., selaku Ketua Jurusan Teknik Kimia yang telah memberikan bantuan untuk kelancaran proses belajar selama di kampus.
4. Ibu Lia Lismeri S.T., M.T., selaku Dosen Pembimbing Akademik yang telah memberikan sarannya selama berada di kampus.

5. Bapak Taharuddin, S.T., M.Sc., sebagai Dosen Pembimbing I atas segala ilmu, kesabaran, saran dan kritiknya dalam penggerjaan tugas akhir.
6. Ibu Panca Nugrahini F S.T., M.T., selaku Dosen Pembimbing II atas segala ilmu, kesabaran, saran dan kritiknya dalam penggerjaan tugas akhir.
7. Ibu Simparmin Br.G, S.T., M.T., selaku Dosen Penguji I, atas segala ilmu, saran dan kritiknya dalam penggerjaan tugas akhir.
8. Ibu Dr. Lilis Hermida, S.T., M.Sc., selaku Dosen Penguji II, atas segala ilmu, saran dan kritiknya dalam penggerjaan tugas akhir.
9. Seluruh Dosen dan Staff Teknik Kimia yang telah memberikan ilmu yang sangat bermanfaat dan membantu kelancaran dalam penggerjaan tugas akhir ini.
10. Terimakasih untuk diri sendiri, karena telah mampu melewati semua hal yang terjadi dalam penyusunan skripsi ini. Mampu berusaha keras sampai melewati batas dan mampu berjuang sampai dititik ini.
11. Kepada seseorang yang sangat penting dan spesial, Assya Nauri Des Harhap. Terimakasih telah hadir untuk menjadi sosok terpenting penulis yang selalu memberikan semangat dan motivasi kepada penulis, terimakasih untuk selalu mendengarkan keluh kesah dari penulis selama proses penggerjaan skripsi ini, terimakasih telah menjadi sosok teman, sahabat, pasangan atau sosok apapun untuk membuat penulis terus bersemangat dan berjuang selama proses penggerjaan skripsi ini,

terimakasih telah menjadi saksi hidup penulis dalam proses penggerjaan skripsi ini. Semoga allah dapat membalas semuakebaikan yang diberikan dan memberi keberkahan kepada Assya Nauri Des Harahap.

12. Muahmmad ferdian faleh sebagai partner tugas akhir, penelitian dan teman dekat selama kuliah atas segala rasa sabar dan menjadi teman diskusi yang sangat membantu penulis dalam menyelesaikan perkuliahan.
13. Sobat LABBERS (Sona, Galuh, Julius, George, Pradif, Rafidim, Faleh, Mutia, Hamdani, dan Niki) atas canda tawa dan susah senang yang dijalani serta motivasi, semangat, bantuan dan dukungannya kepada penulis. Semoga kita dipertemukan kembali dalam keadaan yang lebih baik suatu saat nanti.
14. Teman – teman seperjuangan angkatan 2019, atas bantuan dan dukungannya dalam segala hal yang diberikan kepada penulis.
15. Adik – adik dan kakak – kakak tingkat di Jurusan Teknik Kimia yang banyak memberikan bantuan dan cerita selama di kampus.
16. Semua pihak yang telah banyak membantu dalam penyelesaian tugas akhir ini.

Bandarlampung, 4 Oktober 2024

Penulis

Shidiq Permana Jati

DAFTAR ISI

	Halaman
COVER	i
ABSTRAK	ii
KATA PENGANTAR.....	iii
DAFTAR ISI	vi
DAFTAR GAMBAR	xi
DAFTAR TABEL	xii
BAB I PENDAHULUAN	
1.1 Latar Belakang	1
1.2 Kegunaan Produk.....	3
1.3 Analisa Pasar.....	4
1.3.1 Kebutuhan Pasar dan Daya Saing Produk.....	5
1.4 Kapasitas Rancangan	8
1.5 Lokasi Pabrik	11
BAB II DESKRIPSI PROSES	
2.1 Proses Pembuatan Asetanilida.....	15
2.1.1 Pembuatan Asetanilida dari Asam Asetat Anhidrid dan Anilin.....	15
2.2.2 Proses Pembuatan Asetanilida dari Anilin dan Asam Asetat.....	16
2.2 Pemilihan Proses	18
2.2.1 Perhitungan Ekonomi Kasar Berdasarkan Harga Bahan Baku	18
2.2.2 Analisis Termodinamika.....	25
2.2.2.1 Proses Pembuatan Asetanilida dari Asam Asetat Anhidrid dan Anilin	28

2.2.2.2 Proses Pembuatan Asetanilida dari Asam Asetat dan Anilin	32
2.2.3 Analisis Kinetik	39
2.2.4 Perbandingan Beberapa Parameter dan Kondisi Operasi.....	39
2.3 Uraian Singkat Proses Pembuatan Asetanilida.....	41
2.3.1 Tahap Persiapan Bahan Baku	42
2.3.2 Tahap Reaksi.....	42
2.3.3 Tahap Pembuatan dan Kristalisasi	43
2.3.4 Tahap Pemurnian dan Penyimpanan.....	44
BAB III SPESIFIKASI BAHAN BAKU DAN PRODUK	
3.1 Spesifikasi Bahan Baku.....	45
3.1.1 Anilin	45
3.1.2 Asam Asetat.....	46
3.2 Spesifikasi Produk.....	47
3.2.1 Asetanilida	47
3.2.2 Air	48
BAB IV NERACA MASSA DAN NERACA ENERGI	
4.1 Neraca Massa	51
4.1.1 Reaktor (RE-101).....	51
4.1.2 Menara Distilasi (MD-201).....	51
4.1.3 Condensor (CD-201).....	52
4.1.4 Reboiler (RB-201).....	52
4.1.5 Splitter (SP-201)	53
4.1.6 Crystallizer (CR-201).....	53

4.1.7 Rotary Vacuum Filter (RVF-201).....	54
4.2 Neraca Energi	54
4.2.1 Heater (HE-101).....	54
4.2.2 Heater (HE-102).....	55
4.2.3 Reaktor (RE-101).....	55
4.2.4 Menara Distilasi (MD-201).....	56
4.2.5 Cooler (CO-201)	56
4.2.6 Heater (HE-201).....	56
4.2.7 Crystallizer (CR-201).....	57

BAB V SPESIFIKASI ALAT

5.1 Storage Tank C ₆ H ₅ NH ₂ (ST-101)	58
5.2 Storage Tank CH ₃ COOH (ST-102).....	59
5.3 Reaktor (RE-101)	60
5.4 Expansion Valve (EXV-101)	61
5.5 Menara Distilasi (MD-201)	62
5.6 Condensor (CD-201)	63
5.7 Reboiler (RB-201).....	63
5.8 Accumulator (AC-201).....	64
5.9 Crystallizer (CR-201)	65
5.10 Rotary Vacuum Filter (RVF-201)	66
5.11 Bin Asetanilida (BIN-301)	66
5.12 Screw Conveyor (SC-201)	67
5.13 Bucket Elevator (BE-301)	68
5.14 Belt Conveyor (BC-301)	69

5.15 Belt Conveyor (BC-302)	70
5.16 Heater (HE-101)	70
5.17 Heater (HE-102)	71
5.18 Heater (HE-201)	72
5.19 Cooler (CO-201).....	73
5.20 Pompa Proses (PP-101)	73
5.21 Pompa Proses (PP-102)	74
5.22 Pompa Proses (PP-103)	75
5.23 Pompa Proses (PP-201)	75
5.24 Pompa Proses (PP-202)	76
5.25 Pompa Proses (PP-203)	77
BAB VI UTILITAS DAN PENGOLAHAN LIMBAH	
6.1 Unit Pendukung Proses.....	78
6.2 Unit Pengolahan Limbah.....	98
6.3 Laboratorium	100
6.4 Instrumentasi dan Pengendalian Proses.....	104
BAB VII LOKASI DAN TATA LETAK PABRIK	
7.1 Lokasi Pabrik.....	107
7.1.1 Bahan Baku	107
7.1.2 Bahan Baku	108
7.1.3 Utilitas	108
7.1.4 Pemasaran	108
7.1.5 Transportasi.....	108
7.1.6 Keadaan Iklim dan Tanah	109

7.1.7 Perizinan.....	109
7.2 Tata Letak Pabrik	109
7.2.1 Area Proses	110
7.2.2 Areal Penyimpanan	110
7.2.3 Area Laboratorium.....	110
7.2.4 Area Utilitas	111
7.2.5 Area Perkantoran.....	111
7.2.6 Area Fasilitas Umum.....	111
7.2.7 Area Pengembangan.....	111
7.2.8 Pos Keamanan.....	111
7.3 Estimasi Area Pabrik	112
BAB VIII SISTEM MANAJEMEN DAN ORGANISASI PERUSAHAAN	
8.1 Bentuk Perusahaan	114
8.1.1 Perusahaan Perseorangan.....	114
8.1.2 Perusahaan Firma	114
8.1.3 Perusahaan Komanditer	115
8.1.4 Perusahaan Terbatas (PT)	115
8.2 Stuktur Organisasi Perusahaan	116
8.3 Tugas dan Wewenang.....	119
8.3.1 Pemegang Saham	119
8.3.2 Board of Commissioners.....	119
8.3.3 Presiden Director.....	119
8.3.4 Kepala Bagian	121
8.3.5 Kepala Seksi.....	121

8.4 Status Karyawan dan Sistem Penggajian.....	122
8.4.1 Status Kryawan	122
8.4.2 Penggolongan Gaji	122
8.5 Pembagian Jam Kerja Karyawan.....	123
8.5.1 Karyawan Regular.....	123
8.5.2 Karyawan Shift	123
8.6 Penggolongan Karyawan dan Jumlah Karyawan	125
8.6.1 Penggolongan Jabatan	125
8.6.2 Perincian Jumlah Karyawan.....	125
8.7 Kesejahteraan Karyawan	127
8.7.1 Gaji Pokok.....	127
8.7.2 Tunjangan.....	127
8.7.3 Kesehatan dan Keselamatan Kerja.....	128
BAB IX INVESTASI DAN EVALUASI EKONOMI	
9.1 Investasi.....	131
9.2 Evaluasi Ekonomi.....	135
9.2.1 <i>Return On Investment (ROI)</i>	135
9.2.2 <i>Pay Out Time (POT)</i>	136
9.2.3 <i>Break Even Point (BEP)</i>	136
9.2.4 <i>Shut Down Point (SDP)</i>	136
9.2.5 <i>Discounted Cash Flow (DCF)</i>	137
BAB X KESIMPULAN DAN SARAN	
10.1 Kesimpulan.....	156
10.2 Saran.....	157

DAFTAR PUSTAKA

LAMPIRAN A

LAMPIRAN B

LAMPIRAN C

LAMPIRAN D

LAMPIRAN E

LAMPIRAN F

DAFTAR TABEL

	Halaman
Tabel 1.1 Perusahaan Penghasil Asetanilida di Dunia	4
Tabel 1.2 Pabrik Cat di Indonesia Pada Tahu 2022.....	6
Tabel 1.3 Pabrik Karet di Indonesia Pada Tahun 2022.....	7
Tabel 1.4 Pabrik Plastik di Indonesia Pada Tahun 2022.....	7
Tabel 1.5 Jumlah Kebutuhan Asetanilida di Indonesia.....	9
Tabel 2.1 Daftar Harga Bahan Baku dan Produk.....	18
Tabel 2.2 Data Energi Pembentukan pada Tekanan 1 atm dan suhu 298 K	26
Tabel 2.3 Data Energi Gibbs pada Tekanan 1 atm dan suhu 298 K	27
Tabel 2.4. Data Cp (Kj/Kmol.K) Masing-Masing Komponen.....	29
Tabel 2.5 Data Pembentukan pada Tekanan 1 atm dan suhu 298 K.....	32
Tabel 2.6 Data Energi Gibbs pada Tekanan 1 atm dan Suhu 298 K.....	33
Tabel 2.7 Data Cp (Kj/Kmol.K) Masing-Masing Komponen.....	35
Tabel 2.8 Perbandingan Kondisi Operasi Masing-Masing Proses.....	40
Tabel 4.1. Neraca Massa Reaktor (RE-101).....	51
Tabel 4.2 Neraca Massa Menara Distilasi (MD-201).....	51
Tabel 4.3 Neraca Massa Condensor (CD-201).....	52
Tabel 4.4 Neraca Massa Reboiler (RB-201).....	52
Tabel 4.5 Neraca Massa Splitter (SP-201).....	53
Tabel 4.6. Neraca Massa Crystallizer (CR-201).....	53
Tabel 4.7. Neraca Massa Rotary Vacuum Filter (RVF-201).....	54

Tabel4.8 Neraca Energi Heater (HE-101).....	54
Tabel 4.9 Neraca Energi Heater (HE-102).....	55
Tabel 4.10 Neraca Energi Reaktor (RE-201).....	55
Tabel 4.11. Neraca Energi Menara Distilasi (MD-201).....	56
Tabel 4.12. Neraca Energi Cooler (CO-201).....	56
Tabel 4.13. Neraca Energi Heater (HE-201).....	56
Tabel 4.14. Neraca Energi Crystallizer (CR-301).....	57
Tabel 5.1 Spesifikasi Storage Tank C ₆ H ₅ NH ₂ (ST-101).....	58
Tabel 5.2 Spesifikasi Storage CH ₃ COOH (ST-102).....	59
Tabel 5.3 Spesifikasi Reaktor (RE-101).....	60
Tabel 5.4 Spesifikasi Expansion Valve (EXV-101).....	61
Tabel 5.5 Spesifikasi Menara Distilasi (MD-201).....	62
Tabel 5.6 Spesifikasi Condensor (CD-201).....	63
Tabel 5.7 Spesifikasi Reboiler (RB-201).....	63
Tabel 5.8 Spesifikasi Accumulator (AC-201).....	64
Tabel 5.9 Spesifikasi Crystallizer (CR-201).....	65
Tabel 5.10 Spesifikasi Rotary Vacuum Filter (RVF-201).....	66
Tabel 5.11 Spesifikasi Bin Asetanilida (BIN-301).....	66
Tabel 5.12 Spesifikasi Screw Conveyor (SC-201).....	67
Tabel 5.13 Spesifikasi Bucket Elevator (BE-301).....	68
Tabel 5.14 Spesifikasi Belt Conveyor (BC-301).....	69
Tabel 5.15 Spesifikasi Belt Conveyor (BC-302).....	70
Tabel 5.16 Spesifikasi Heater (HE-101).....	70

Tabel 5.17 Spesifikasi <i>Heater</i> (HE-102).....	71
Tabel 5.18 Spesifikasi <i>Heater</i> (HE-201).....	72
Tabel 5.19 Spesifikasi <i>Cooler</i> (CO-201).....	73
Tabel 5.20 Spesifikasi Pompa Proses (PP-101).....	73
Tabel 5.21 Spesifikasi Pompa Proses (PP-102).....	74
Tabel 5.22 Spesifikasi Pompa Proses (PP-103).....	75
Tabel 5.23 Spesifikasi Pompa Proses (PP-201).....	75
Tabel 5.24. Spesifikasi Pompa Proses (PP-202).....	76
Tabel 5.25. Spesifikasi Pompa Proses (PP-203).....	77
Tabel 6.1. Kebutuhan Air Umum.....	80
Tabel 6.2. Peralatan yang Membutuhkan <i>Steam</i>	81
Tabel 6.3. Kebutuhan Air Pendingin.....	85
Tabel 6.4. Kebutuhan Air Total.....	88
Tabel 6.5. Tingkatan Kebutuhan Informasi dan Sistem Pengendalian.....	105
Tabel 7.1. Perincian Luas Area Pabrik Asetanilida.....	112
Tabel 8.1. Jadwal Kerja Masing - Masing Regu.....	124
Tabel 8.2. Jumlah Operator Berdasarkan Jenis Alat Proses.....	125
Tabel 8.3. Perincian Jumlah Karyawan Berdasarkan Jabatan.....	126
Tabel 9.1. <i>Fixed Capital Investment</i>	132
Tabel 9.2. <i>Manufacturing Cost</i>	134
Tabel 9.3. <i>General Expenses</i>	135
Tabel 9.4. Hasil Analisa Kelayakan Ekonomi.....	138

DAFTAR GAMBAR

Gambar 1.1 Grafik Jumlah Kebutuhan Asetanilida di Indonesia.....	10
Gambar 2.1 Reaksi Pembentukan Asetanilida dari Anilin dan Asam Asetat Anhidrid	16
Gambar 2.2 Reaksi Pembentukan Asetanilida dari Anilin dan Asam Asetat.....	17
Gambar 3.1 Struktur Kimia Anilin	45
Gambar 3.2 Struktur Kimia Asam Asetat.....	46
Gambar 3.3 Struktur Kimia Asam Asetanilida.....	47
Gambar 3.4 Struktur Kimia Air.....	48
Gambar 6.1 Daerator	83
Gambar 6.2 Diagram <i>Cooling Water System</i>	88
Gambar 6.3 Diagram Air Unit Pengolahan Limbah Cair.....	99
Gambar 7.1 Peta Kawasan Industri Gresik.....	113
Gambar 7.2 Tata Letak Pabrik Asetanilida	113
Gambar 8.1 Struktur Organisasi Perusahaan.....	118
Gambar 9.1 Analisa Ekonomi Pabrik Alkyd Resin	137
Gambar 9.2 Kurva <i>Cummulative Cash Flow</i> terhadap Umur Pabrik.....	138

BAB I

PENDAHULUAN

1.1 Latar Belakang

Dalam menghadapi Masyarakat Ekonomi Asean (MEA), Indonesia harus meningkatkan pembangunan di segala bidang untuk dapat bersaing dengan Negara lain. Salah satu upaya yang dapat ditempuh pemerintah untuk dapat bersaing adalah melakukan pembangunan di bidang industri dengan memanfaatkan potensi yang dimiliki Indonesia. Diharapkan dengan pembangunan di bidang industri, Indonesia dapat mengurangi ketergantungan terhadap negara lain, memperluas lapangan kerja dan menggerakan perekonomian nasional.

Sektor industri kimia dasar merupakan salah satu sektor industri yang terkait. Perkembangan industri kimia dasar, terutama industri makanan, minuman, kosmetik, dan farmasi akan terus meningkat dengan pertumbuhan jumlah penduduk sehingga kebutuhan bahan baku terus meningkat. Untuk pemenuhan bahan baku industri ini maka diperlukan adanya pembangunan industri kimia, salah satu contoh produk sektor industri adalah Asetanilida.

Asetanilida ($C_6H_5NHCOCH_3$) atau yang lebih dikenal dengan nama antifebrin merupakan senyawa turunan dari asetilamina aromatis yang digolongkan sebagai amida primer. Asetanilida merupakan produk yang banyak digunakan sebagai bahan baku dalam industri farmasi, yaitu untuk pembuatan *analgesic* (obat mengurangi rasa sakit) dan untuk pembuatan *antipiteric* (obat penurun panas). Kegunaan utama lain dari Asetanilida adalah sebagai bahan pembantu dalam proses pembuatan dalam proses pembuatan cat, karet, dan plastik.

Pada industri cat, asetanilida digunakan untuk penghambatoksidasi yang membantu mencegah reaksi kimia antara udara (oksigen) dan cat yang dapat menghasilkan kulit atau lapisan permukaan yang keras dan meningkatkan umur simpan sehingga cat tetap dalam kondisi baik untukdigunakan dalam jangka waktu yang lebih lama. Untuk pada industri karet, asetanilida digunakan untuk meningkatkan kekuatan, elastisitas, dan ketahanan terhadap panas dan abrasi. Sedangkan pada industri plastik, asetanilida digunakan untuk bahan pewarna atau sebagai komponen dalam pembuatan pigmen sintesis untuk memberikan warna tertentu pada plastik. Kebutuhan Asetanilida setiap tahunnya semakin meningkat, begitu pula dengan nilai jual Asetanilida yang cukup tinggi baik didalam maupun luar negeri. Ditinjau dari harga bahan baku dan harga

produk Asetanilida,pendirian pabrik Asetanilida dapat memberikan keuntungan yang cukup besar. Dari data Badan Pusat Statistik pada tahun 2023 menunjukan harga bahan baku anilin adalah US\$ 900,45/ton dan harga asam asetat US\$ 420,14/ton, sedangkan harga produk Asetanilida nilainya sebesar US\$ 1923,2/ton.

Data statistik yang diperoleh dari Biro Pusat Statistik (BPS) pada tahun 2023 menunjukan bahwa indonesia tidak ada pabrik Asetanilida sehingga untuk memenuhi kebutuhan Asetanilida dalam negeri selama ini masih mengimpor dari luar negeri.

Berdasarkan pertimbangan tersebut, maka penulis melakukan prarancangan pabrik pembuatan Asetanilida dengan menggunakan bahan baku anilin dan asam asetat. Pendirian pabrik ini diharapkan kebutuhan akan Asetanilida dalam industri di Indonesia dapat terpenuhi. Selain itu juga dapat membantu memperlancar roda perekonomian di Indonesia dan juga dapat menciptakan lapangan pekerjaan sehingga dapat mengurangi tingkat pengangguran.

1.2 Kegunaan Produk

Asetanilida ($C_6H_5NHCOCH_3$) atau yang lebih dikenal dengan nama antifebrin merupakan senyawa turunan dari asetilamina aromatis yang digolongkan sebagai amida primer. Asetanilida merupakan

salah satu produk kimia yang memiliki beragam manfaat, baik sebagai bahan baku maupun bahan penunjang industri kimia, seperti :

1. Sebagai bahan tambahan dalam sintesis obat-obatan, seperti parasetamol (keperluan analgesik dan antipretik), lidokain (keperluan anastesi) dan obat sulfat.
2. Sebagai bahan baku pembuatan sintesa *penicillin*.
3. Sebagai bahan pembantu pada industri cat,karet, dan plastik.
4. Sebagai bahan pembantu dalam proses pembuatan hidrogen peroksida.
5. Sebagai bahan dasar pewarna buatan dan sebagai intermediet pada pembuatan pewarna buatan.

(Krik &Othmer, 1981)

1.3 Analisis Pasar

Pendirian pabrik dengan kapasitas tertentu bertujuan untuk mencukupi kebutuhan dalam negeri, membantu perkembangan industri lain yang menggunakan Asetanilida sebagai bahan bak, serta memungkinkan untuk memenuhi kebutuhan negara lain (ekspor).

Karena pendirian pabrik tidak hanya untuk memenuhi kebutuhan Asetanilida dalam negeri, melainkan juga untuk luar negeri (ekspor), maka analisis pasar dilakukan secara luas yakni dengan mengetahui

kebutuhan Asetanilida dunia serta mengetahui negara-negara penghasil Asetanilida terbesar di dunia.

Tabel 1.1. Berikut menyajikan beberapa perusahaan penghasil Asetanilida terbesar didunia beserta kapasitas produksinya.

Tabel 1.1. Perusahaan Penghasil Asetanilida di Dunia

Nama Perusahaan	Kapasitas	Lokasi Pabrik
Per Tahun		
<i>Toms River-Cincinnati</i>	23.000 ton	Korea
<i>Chemical Corp.*</i>		
<i>Swerwin Williams Co **</i>	7.000 ton	Amerika Serikarat
	32.500 ton	
<i>Henkel Co***</i>	2.000 ton	Eropa Barat, Jerman
	14.000 ton	
<i>Bodal Chemicals Ltd****</i>	3.600 ton	india
<i>Nanjing Linghao Chemical</i>	15.000	China
<i>Tranding Co.Ltd*****</i>		

Sumber :*cumulis.epa.gov

**sherwin williams.com

***henkel.com

****bodal.com

*****echemi.com

1.3.1 Kebutuhan Pasar dan Daya Saing Produk

Kebutuhan bahan baku Asetanilida di indonesia terus meningkat setiap tahunnya disebabkan banyak berkembangnya industri yang membutuhkan bahan baku Asetanilida. Konsumen Asetanilida terbesar adalah pada industri farmasi, yaitu untuk membuat obat-obatan, kemudian diikuti produsen cat, karet serta industri-industri kimia lainnya.

Tabel 1.2 Pabrik Cat di Indonesia Pada Tahun 2022

Nama Perusahaan	Kapasitas Produksi (Ton/Tahun)
PT. Dana Paint Indonesia	46.500
PT. Akzo Nobel Car Refinish	2.500
PT. Atlantic Ocean Paint	26.500
PT. Avi Avian	147.000
PT. Bina Adidaya	5.500
PT. Chugoku Paint Indoensia	5.000
PT. Futanlux Chemitraco	12.000
PT. ICI Paint Indonesia	200.000
PT. Isamu Raya	15.000
PT. Jotun Indonesia	100.000
PT. Mataram Paint Co Ltd	5.100
Mowilex CV	10.000
PT. Nipsea Paint and Chemicals	250.000
PT. Pasicic Dwiyasa Putra	70.000
PT. Pan Ocean Paint	10.000
PT. Propan Raya Industri	200.000
PT. Sarana Warna Megah	10.000

Nama Perusahaan	Kapasitas Produksi (Ton/Tahun)
PT. Sigma Utama	6.000
PT. Sinar Madu Wangi	8.000
PT. Gunung Segara Buana	500
PT. Axalta	5.500
PT. Beckers	70
PT. Bintang Cemikal Indonesia	6.000
PT. Central Megahtama	250
PT. Choil Global Indonesia	270
PT. Ciwipoint Global Indonesia	115
PT. Fanos Asia	600
PT. Fujikura Kasei Indonesia	100
PT. Gyung Do Indonesia	2.000
PT. Indaco Waina Dunia	34.000
PT. Indowira Putra	4.500
PT. Inti Daya Guna Aneka Warna	18.500
PT. Kansai Paint Indonesia	14.400
PT. Multipro Paint	1.800
PT. Nipon Paint	250.000
PT. Penta Ocean	8.000
Total	1.475.705

Sumber: Data Kemenperin, 2023

Tabel 1.3 Pabrik Karet di Indonesia Pada Tahun 2022

Nama Perusahaan	Kapasitas Produksi (Ton/Tahun)
PT. Darmasindo Intikaret	18.000
PT. Industri Karet Cibinong	3.000
PT. Industri Karet Nusantara	18.000

Nama Perusahaan	Kapasitas Produksi (Ton/Tahun)
PT. Inti Plastik Aneka Karet	12.000
PT. Karet Batin Delapan	5.000
PT. KARET NGAGEL	4.000
SURABAYA WIRA JATIM	
PT. LEMBAH KARET PADANG	36.000
PT. Wilson Lautan Karet	36.000
Total	132.000

Sumber: Data Kemenperin, 2023

Tabel 1.4 Pabrik Plastik di Indonesia Pada Tahun 2022

Nama Perusahaan	Kapasitas Produksi (Ton/Tahun)
CV Abadi Jaya Plastik	30
PR abadi prima plastik	100
CV Industri Plastik Babadan	2
PT AMERTA INDAH PLASTIK	1
PT Aneka Jasuma Plastik	6.000
CV Sukses Mandiri Plastindo	1,2
PT Aneka Plastikindo	2.100
PT Anugerah Berlian Plastik	5.000
PT Aomindo Plastik	1,8
PT Argo Plastik Industri	1,5
CV Arjuna Plastik	500
PT Arya Wiraraja Plastikindo	200.000
PT Asia Plastik	5.000
PT AV PLASTIK INDUSTRI	1.500
BATAM	

Nama Perusahaan	Kapasitas Produksi (Ton/Tahun)
PT Bumi Plastik Nusantara	22.000
Total	242.237,5

Sumber: Data Kemenperin,2023

1.4 Kapasitas Rancangan

Perancangan pabrik Asetanilida ditunjukan untuk memenuhi kebutuhan Asetanilida dalam negeri yang terus meningkat setiap tahunnya, mengurangi jumlah impor Asetanilida, serta memungkinkan untuk memenuhi kebutuhan negara lain (ekspor). Oleh karena itu, kapasitas pabrik Asetanilida ditentukan bedasarkan beberapa hal diantaranya jumlah impor dan ekspor Asetanilida. Selain itu juga, bisa dilihat pada kapasitas maksimal dari pabrik yang pernah dibuat. Untuk kapasitas mengacu pada pabrik Asetanilida di Amerika terkecil 7.000 ton/tahun dan terbesar 32.500 ton/tahun. Sedangkan di Eropa Barat (Jerman) kapasitas terkecil 2.000 ton/tahun dan terbesar 14.000 ton/tahun (Kirik & Othmer, 1981).

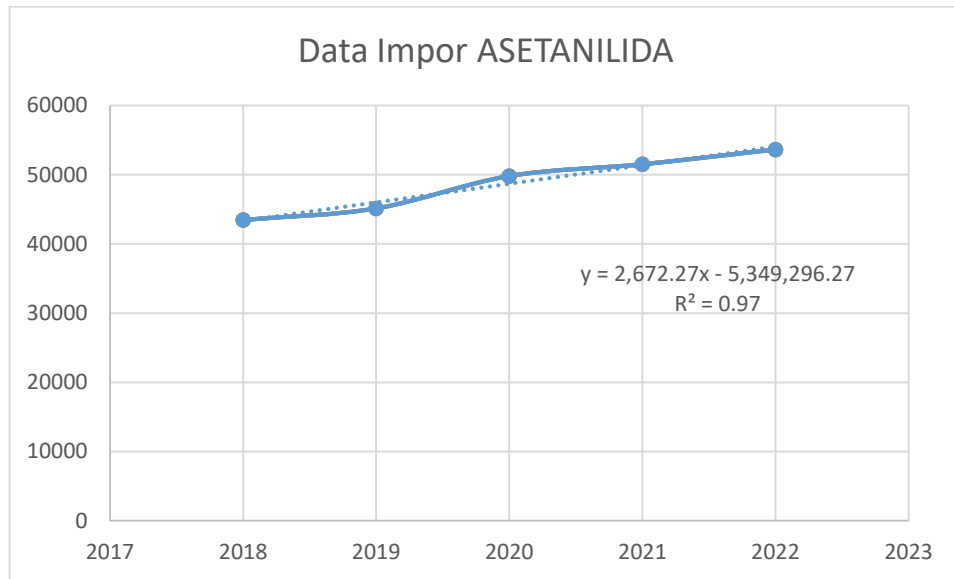
Tabel 1.5 Jumlah kebutuhan Asetanilda di Indonesia

Tahun	Jumlah Kebutuhan	%P
Asetanilida (ton)		
2018	43.441	-
2019	45.111	0,0370
2020	49.783	0,0938
2021	51.489	0,0331
2022	53.613	0,0396
Total (Σ%P)		0,2036
i		0,0814

Sumber: (BPS, 2023)

Dari tabel 1.3. juga dapat dibuat grafik proyeksi jumlah kebutuhan Asetanilda untuk tahun 2028 seperti disajikan pada Gambar 1.1. di bawah ini.

Gambar 1.1. Grafik Jumlah Kebutuhan Asetanilida di Indonesia



Perhitungan kapasitas pabrik Asetanilida yang direncanakan berdiri pada tahun 2028, menggunakan metode *discounted* dengan persamaan sebagai berikut (sinnot, 2005):

$$m_{\text{tahun yang dicari}} = m_{\text{tahun terakhir}} (1+i)^n$$

$$\text{dimana, } i = \frac{\sum \%P}{n}$$

Dengan

m : nilai impor

a : selisih tahun

i : pertumbuhan rata-rata per tahun

$\%P$: persen pertumbuhan per tahun

n : jumlah data $\%P$

Dengan persamaan diatas data impor 2018-2022 maka kapasitas produksi pabrik pada tahun 2028 didapatkan sebagai berikut:

$$m_{2028} = m_{2022} (1+i)^n$$

$$m_{2028} = 53.613 (1+0,0814)^5$$

$$m_{2028} = 79.301,6$$

Dari hasil perhitungan didapatkan 79.301 ton/tahun peluang kapasitas kebutuhan DCPD didalam negeri. Dengan pertimbangan, melihat kapasitas pabrik yang sudah berdiri makakami mengambil 50% dari peluang kapasitas DCPD dalam negri, maka kapasitas pabrik DCPD yang akan didirikan pada tahun 2028 adalah $39.650 \approx 40.000$ ton/tahun.

1.5 Lokasi Pabrik

Pemilihan dan penentuan lokasi pabrik sangat menentukan kemajuan pabrik tersebut, baik saat berproduksi maupun di masa yang akan datang. Secara geografis, penentuan lokasi pabrik sangat mempengaruhi kegiatan industri. Oleh karena itu, pemilihan lokasi pabrik harus mempertimbangkan biaya produksi dan biaya distribusi yang minimum, sehingga akan diperoleh profit yang maksimal.

Adapun beberapa faktor-faktor yang mempengaruhi pemilihan lokasi pabrik, yaitu :

1. Ketersediaan lahan, baik lahan untuk lokasi berdirinya pabrik maupun lahan untuk buangan industri.
2. Ketersediaan bahan baku dan utilitas
3. Transportasi dan pemasaran
4. Ketersediaan pembangkit tenaga
5. Ketersediaan tenaga kerja
6. Lingkungan sekitar dan lain-lain

Berdasarkan pertimbangan diatas, lokasi pabrik Asetanilida ini direncanakan akan didirikan di daerah Kawasan Industri Gresik, Jawa Timur. Penetapan lokasi pabrik ini bedasarkan faktor berikut :

a) Ketersediaan Bahan Baku

Bahan baku merupakan faktor yang sangat penting karena berhubungan dengan keberlangsungan proses produksi pabrik.

Suatu pabrik sebaiknya berada di daerah yang dekat dengan sumber bahan baku dan daerah pemasaran sehingga transportasi dapat berjalan dengan lancar dan biaya transportasi dapat diminimalisir. Pabrik juga sebaiknya dekat dengan pelabuhan laut jika ada bahan baku atau produk yang dikirim dari atau ke luar negeri.

Ditinjau dari ketersediaan bahan baku, maka daerah Kawasan Industri Gresik, Jawa Timur merupakan tempat yang cukup strategis. Bahan baku asam asetat didapatkan dari PT Indo Acidatama, Karanganyar, Jawa Tengah. Sedangkan anilin

diperoleh dari PT Lautan Luas, Surabaya, Jawa Timur. Sehingga biaya pengangkutan serta dana investasi fasilitas penyimpanan, serta inventori bahan baku dapat dikurangi.

b) Ketersediaan Utilitas

Utilitas yang utama meliputi air, *steam*, bahan bakar dan listrik. Sumber kebutuhan listrik dapat diperoleh dari Perusahaan Listrik Negara (PLN) dan sebagai tenaga cadangan listrik dipersiapkan pembangkit tenaga listrik (generator set) yang bahan bakarnya diperoleh dari pertamina sebagai pengganti sementara jika terjadi gangguan. Sedangkan kebutuhan air dapat dipenuhi dari sungai didekat pabrik, yakni sungai Bengawan Solo sehingga keperluan air untuk proses produksi dapat terpenui dengan mudah dari air sungai yang mengalir didaerah lokasi pabrik.

c) Transportasi

Sarana angkut dan transportasi dari dan ke lokasi pabrik merupakan faktor yang penting karena berhubungan dengan pengiriman bahan baku, pengadaan peralatan, serta pengiriman produk. Fasilitas transportasi yang ada didaerah Kawasan Industri Gresik, Jawa Timur meliputi transportasi darat (jalan raya), pabrik juga dekat dengan pelabuhan laut Pelabuhan Tanjung Perak, Surabaya, Jawa Timur. Lokasi pabrik dekat

dengan jalan raya yang menghubungkan Jakarta-Surabaya dan lokasi pabrik juga dekat dengan jalan tol Surabaya-Gresik. Serta jalur udaranya dengan adanya Bandar Udara Internasional Juanda, sehingga diharapkan sirkulasi pasokan bahan baku dan pemasaran hasil produk baik untuk dalam negeri maupun luar negeri dapat berjalan lancar.

d) Daerah Pemasaran Produk

Hasil produk Asetanilida digunakan terutama untuk memenuhi kebutuhan dalam negeri dan juga memungkinkan untuk dieksport. Konsumen utama Asetanilida di Indonesia adalah industri farmasi, cat, karet hingga industri kimia. Sedangkan negara-negara pengonsumsi Asetanilida terbesar didunia adalah Korea, Amerika Serikat, dan beberapa negara-negara di Eropa.

e) Tenaga Kerja

Kebutuhan tenaga kerja pabrik dapat terpenuhi dari daerah sekitar lokasi pabrik, mulai dari tenaga kerja terdidik, terlatih, terampil, hingga tenaga kerja kasar. Sedangkan tenaga kerja ahli dapat diperoleh dari lulusan perguruan tinggi di Indonesia. Dengan memanfaatkan masyarakat Indonesia sebagai tenaga kerja, maka berdirinya pabrik ini dapat mengurangi pengangguran di Indonesia dan mampu meningkatkan taraf hidup masyarakat Indonesia.

BAB II

DESKRIPSI PROSES

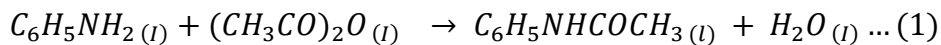
2.1 Proses Pembuatan Asetanilida

Ada beberapa proses pembuatan asetanilida, yaitu :

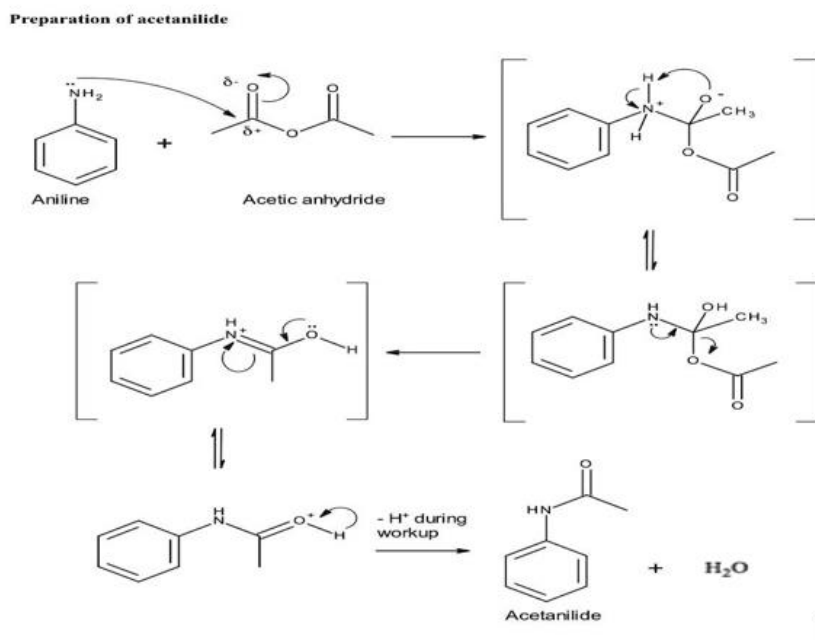
1. Pembuatan Asetanilida dari Asam Asetat Anhidrid dan Anilin
2. Pembuatan Asetanilida dari Anilin dan Asam Asetat

2.1.1 Pembuatan Asetanilida dari Asam Asetat Anhidrid dan Anilin

Asetanilida dapat dihasilkan dari reaksi antara asam asetat anhidrid dan anilin. Aniline direaksikan dengan Acetic Anhydride berlebih 150% dengan penambahan benzene yang berfungsi sebagai pelarut dengan konversi 92% dan yield 65% direfluks dalam sebuah kolom yang dilengkapi dengan jaket sampai tidak ada anilin yang tersisa kondisi operasi temperatur reaksi 110 °C. (US Patent 3,919,314. 1975 dan Kirk., and Othmer, 1981)



Anilin Asam Asetat Anhidrid Asetanilida Air



Gambar 2.1 Reaksi pembentukan Asetanilida dari Anilin dan Asam Asetat Anhidrid

(Sumber: *Physical chemistry*, 2008)

Campuran reaksi disaring, kemudian kristal dipisahkan dari air panas dengan cara didinginkan, sedangkan filtratnya didaur ulang. Penggunaan asetat anhidrida dapat digantikan dengan asetil klorida. (Kirk., and Othmer, 1981)

2.1.2 Proses Pembuatan Asetanilida dari Anilin dan Asam Asetat

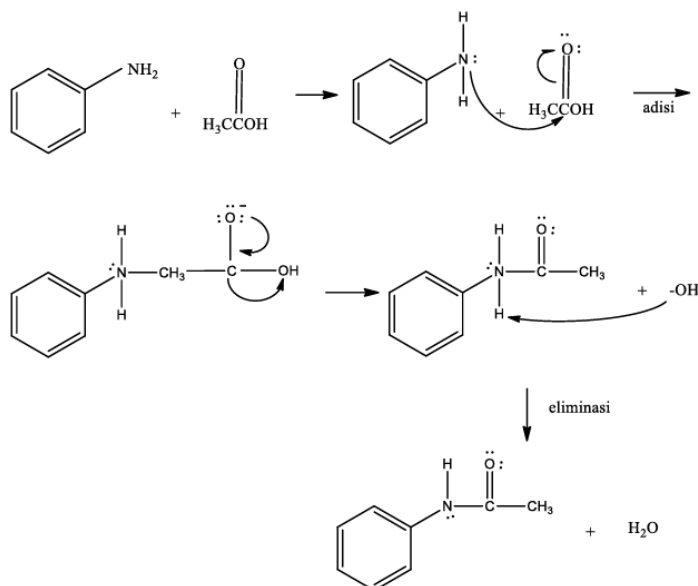
Metode ini merupakan metode awal yang masih digunakan jika dibandingkan dengan semua proses pembuatan asetanilida karena anilin dan asam asetat direaksikan dalam sebuah tangki

yang dilengkapi dengan pengaduk sehingga dari segi biaya proses lebih ekonomis.



Anilin Asam Asetat Asetanilida Air

Reaksi pada suhu 150°C dan tekanan 2,5 atm dengan yield mencapai 99,5% dan konversi mencapai 90%. Produk dalam keadaan panas dikristalisasi dengan menggunakan kristalizer untuk membentuk butiran (kristal) asetanilida. (US Patent 615,829. 1898 dan Faith., and Keyes., 1975)



Gambar 2.2 Reaksi pembentukan Asetanilida dari Anilin dan

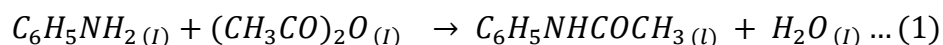
Asam Asetat

(Sumber: *Physical chemistry*, 2008)

2.2 Pemilihan Proses

Berdasarkan macam-macam proses diatas, maka proses pembuatan asetanilida dapat menggunakan salah satu dari 2 jenis proses berikut:

Proses 1.



Analin Asam Asetat Anhidrid Asetanilida Air

Proses 2.



Anilin Asam Asetat Asetanilida Air

2.2.1 Perhitungan Ekonomi Kasar Berdasarkan Harga Bahan Baku

Baku

Tabel 2.1. di bawah ini menampilkan daftar bahan baku untuk produksi asetanilida beserta harga untuk tiap bahan baku dan produknya.

Tabel 2.1. Daftar Harga bahan baku dan produk

Jenis Bahan	Harga (US\$)	
Anilin	900,45/ton	0,900/kg
Asam Asetat	420,14/ton	0,420/kg

Jenis Bahan	Harga (US\$)	
Asam Asetat Anhidrid	710,13/ton	0,710/kg
Benzene	620,23/ton	0,62/kg
Asetanilida	1923,2/ton	1,923/kg

(Pubchem.gov, 2023)

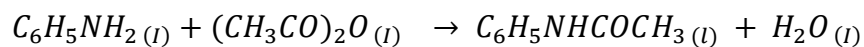
➤ Proses 1

Konversi pembentukan asetanilida ($C_6H_5NHCOCH_3$) dari anilin (CH_3NH_2) dan asam asetat anhidrid ($CH_3CO)_2O$ adalah sebesar 92% terhadap asetanilida. Waktu operasi adalah 24 jam dan 330 hari dalam 1 tahun.

$$\begin{aligned} \text{Kapasitas Produk Asetanilida} &= 40.000 \text{ ton/tahun} \\ &= 5.050,50 \text{ kg/jam} \end{aligned}$$

$$\text{Mol Asetanilida} = 37,37 \text{ kmol/jam}$$

Reaksi yang terjadi untuk memproduksi asetanilida ($C_6H_5NHCOCH_3$) adalah :



M	40,40	40,40	-	-
B	37,37	37,37	37,37	37,37
S	3,03	3,03	37,37	37,37

➤ Asetanilida ($C_6H_5NHCOCCH_3$)

$$\text{BM } (C_6H_5NHCOCCH_3) = 135,16 \text{ kg/mol}$$

$$\text{Mol } (C_6H_5NHCOCCH_3) = 37,37 \text{ kmol/jam}$$

$$\text{Massa } (C_6H_5NHCOCCH_3) = \text{mol}(C_6H_5NHCOCCH_3) \times$$

$$\text{BM } (C_6H_5NHCOCCH_3)$$

$$= 37,37 \text{ kmol/jam} \times 135,16 \text{ kg/kmol}$$

$$= 5.050,50 \text{ kg/jam}$$

$$= 40.000 \text{ ton/tahun}$$

$$\text{Harga } (C_6H_5NHCOCCH_3) = \text{Massa } (C_6H_5NHCOCCH_3) \times \text{Harga}$$

$$(C_6H_5NHCOCCH_3)$$

$$= 40.000 \text{ ton/tahun} \times 1923,2/\text{ton}$$

$$= 76.928.000 \$/\text{tahun}$$

➤ Air (H_2O)

$$\text{BM } (H_2O) = 18,02 \text{ kmol/jam}$$

$$\text{Mol } (H_2O) = 37,37 \text{ kmol/jam}$$

$$\text{Massa } (H_2O) = \text{mol } (H_2O) \times \text{BM } (H_2O)$$

$$= 37,37 \text{ kmol/jam} \times 18,02 \text{ kg/mol}$$

$$= 673,350 \text{ kg/jam}$$

$$= 5.332,938 \text{ ton/tahun}$$

$$\text{Harga } (H_2O) = \text{Massa } (H_2O) \times \text{Harga } (H_2O)$$

$$= 5.332,938 \text{ ton/tahun} \times 0$$

$$= 0$$

➤ Anilin ($C_6H_5NH_2$)

$$\begin{aligned}
 \text{BM } (C_6H_5NH_2) &= 93,13 \text{ kg/mol} \\
 \text{Mol } (C_6H_5NH_2) &= 40,40 \text{ kmol/jam} \\
 \text{Massa } (C_6H_5NH_2) &= \text{mol } (C_6H_5NH_2) \times \text{BM } (C_6H_5NH_2) \\
 &= 40,40 \text{ kg/mol} \times 93,13 \text{ kg/mol} \\
 &= 3.762,136 \text{ kg/jam} \\
 &= 29.796,117 \text{ ton/tahun} \\
 \text{Harga } (C_6H_5NH_2) &= \text{Massa } (C_6H_5NH_2) \times \text{Harga } (C_6H_5NH_2) \\
 &= 29.796,117 \text{ ton/tahun} \times 900,45/\text{ton} \\
 &= 26.829.914 \$/\text{tahun}
 \end{aligned}$$

➤ Asam Asetat Anhidrid ($CH_3CO)_2O$

$$\begin{aligned}
 \text{BM } (CH_3CO)_2O &= 102,05 \text{ kg/mol} \\
 \text{Mol } (CH_3CO)_2O &= 40,40 \text{ kmol/jam} \\
 \text{Massa } (CH_3CO)_2O &= \text{mol } (CH_3CO)_2O \times \text{BM } (CH_3CO)_2O \\
 &= 40,40 \text{ kmol/jam} \times 102,05 \text{ kg/kmol} \\
 &= 4.122,473 \text{ kg/jam} \\
 &= 32.649,992 \text{ ton/tahun} \\
 \text{Harga } (CH_3CO)_2O &= \text{Massa } (CH_3CO)_2O \times \\
 &\quad \text{Harga } (CH_3CO)_2O \\
 &= 32.649,992 \text{ ton/tahun} \times 710,13/\text{ton} \\
 &= 23.185.739 \$/\text{tahun}
 \end{aligned}$$

- Profit

$$\begin{aligned}
 \text{Ekonomi parsial} &= \text{Harga Produk} = \text{Biaya Bahan Baku} \\
 &= \text{Harga } (C_6H_5NHCOCH_3)/\text{tahun} - \\
 \text{Harga} & \\
 (C_6H_5NH_2) + \text{Harga} & \\
 ((CH_3COOH)_2O/\text{tahun}) & \\
 = 76.928.000 \$/\text{tahun} - (26.829.914 \$/ & \\
 \text{tahun} + 23.185.739 \$/\text{tahun}) & \\
 = 26.912.347 \$/\text{tahun} &
 \end{aligned}$$

Jadi profit pada proses pembuatan asetanilida ($C_6H_5NHCOCH_3$) dari anilin ($C_6H_5NH_2$) dan asam asetat anhidrid $(CH_3CO)_2O$ dari perhitungan ekonomi potensial secara kasar ini adalah sebesar 26.912.347 \$/tahun.

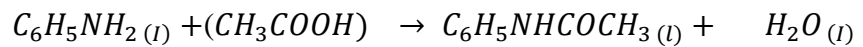
➤ Proses 2

Konversi pembentukan asetanilida ($C_6H_5NHCOCH_3$) dari anilin ($C_6H_5NH_2$) dan asam asetat (CH_3COOH) adalah sebesar 90% terhadap asetanilida. Waktu operasi adalah 24 jam dan 330 hari dalam 1 tahun.

$$\begin{aligned}
 \text{Kapasitas Produk Asetanilida} &= 40.000 \text{ ton/tahun} \\
 &= 5.050,50 \text{ kg/jam}
 \end{aligned}$$

$$\text{Mol Asetanilida} = 37,37 \text{ kmol/jam}$$

Reaksi yang terjadi untuk memproduksi asetanilida ($C_6H_5NHCOCH_3$) adalah :



M	41,52	41,52	-	-
B	37,37	37,37	37,37	37,37
S	4,15	4,15	37,37	37,37

➤ Asetanilida ($C_6H_5NHCOCH_3$)

$$\text{BM } (C_6H_5NHCOCH_3) = 135,16 \text{ kg/kmol}$$

$$\text{Mol } (C_6H_5NHCOCH_3) = 37,37 \text{ kmol/jam}$$

$$\text{Massa } (C_6H_5NHCOCH_3) = \text{mol } (C_6H_5NHCOCH_3) \times \text{BM}$$

$$(C_6H_5NHCOCH_3)$$

$$= 37,37 \text{ kmol/jam} \times 135,16 \text{ kg/kmol}$$

$$= 5.050,50 \text{ kg/jam}$$

$$= 40.000 \text{ ton/tahun}$$

$$\text{Harga } (C_6H_5NHCOCH_3) = \text{Massa } (C_6H_5NHCOCH_3) \times \text{Harga}$$

$$(C_6H_5NHCOCH_3)$$

$$= 40.000 \text{ ton/tahun} \times 1923,2/\text{ton}$$

$$= 76.928.000 \$/\text{tahun}$$

➤ Air (H_2O)

$$\text{BM } (H_2O) = 18,02 \text{ kmol/jam}$$

$$\text{Mol } (H_2O) = 37,37 \text{ kmol/jam}$$

$$\text{Massa } (H_2O) = \text{mol } (H_2O) \times \text{BM } (H_2O)$$

$$= 37,37 \text{ kmol/jam} \times 18,02 \text{ kg/mol}$$

$$= 673,350 \text{ kg/jam}$$

$$= 5.332,938 \text{ ton/tahun}$$

$$\text{Harga } (H_2O) = \text{Massa } (H_2O) \times \text{Harga } (H_2O)$$

$$= 5.332,938 \text{ ton/tahun} \times 0$$

$$= 0 \$/\text{tahun}$$

➤ Anilin ($C_6H_5NH_2$)

$$\text{BM } (C_6H_5NH_2) = 93,13 \text{ kg/mol}$$

$$\text{Mol } (C_6H_5NH_2) = 41,52 \text{ kmol/jam}$$

$$\text{Massa } (C_6H_5NH_2) = \text{mol } (C_6H_5NH_2) \times \text{BM } (C_6H_5NH_2)$$

$$= 41,52 \text{ kmol/jam} \times 93,13 \text{ kg/mol}$$

$$= 3.866,639 \text{ kg/jam}$$

$$= 30.623,787 \text{ ton/tahun}$$

$$\text{Harga } (C_6H_5NH_2) = \text{Massa } (C_6H_5NH_2) \times \text{Harga } (C_6H_5NH_2)$$

$$= 30.623,787 \text{ ton/tahun} \times 900,45 \$/\text{ton}$$

$$= 27.575.189 \$/\text{tahun}$$

➤ Asam Asetat (CH_3COOH)

$$BM (CH_3COOH) = 60,05 \text{ kg/mol}$$

$$Mol (CH_3COOH) = 41,52 \text{ kmol/jam}$$

$$\text{Massa } (CH_3COOH) = \text{mol } (CH_3COOH) \times BM (CH_3COOH)$$

$$= 41,52 \text{ kmol/jam} \times 60,05 \text{ kg/mol}$$

$$= 2.493,200 \text{ kg/jam}$$

$$= 19.746,144 \text{ ton/tahun}$$

$$\text{Harga } (CH_3COOH) = \text{Massa } (CH_3COOH) \times \text{Harga}$$

$$(CH_3COOH)$$

$$= 19.746,144 \text{ ton/tahun} \times 420,14 \text{ \$/ton}$$

$$= 8.296.144 \text{ \$/tahun}$$

- Profit

$$\text{Ekonomi parsial} = \text{Harga Produk} - \text{Biaya Bahan Baku}$$

$$= \text{Harga } (C_6H_5NHCOCH_3) / \text{tahun} -$$

Harga

$$(C_6H_5NH_2) + \text{Harga } ((CH_3COOH)$$

/tahun)

$$= 76.928.000 \text{ \$/tahun} - (27.575.189$$

$$\text{\$/tahun} + 8.296.144 \text{ \$/tahun})$$

$$= 41.056.667 \text{ \$/tahun}$$

Jadi profit pada proses pembuatan asetanilida ($C_6H_5NHCOCH_3$)

dari anilin ($C_6H_5NH_2$) dan asam asetat (CH_3COOH) dari

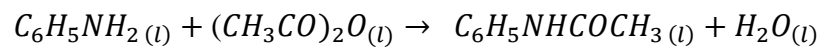
perhitungan ekonomi potensial secara kasar ini adalah sebesar 41.056.667 \$/tahun.

2.2.2 Analisis Termodinamika

Perubahan entalpi (ΔH) menunjukkan panas reaksi yang dihasilkan ataupun panas reaksi yang dibutuhkan selama proses berlangsungnya reaksi kimia. Dalam hal ini, pada reaksi pembentukan asetanilida. Besar atau kecil nilai ΔH tersebut menunjukkan jumlah energi yang dibutuhkan maupun yang dihasilkan. ΔH bernilai positif (+) menunjukkan bahwa reaksi tersebut membutuhkan panas untuk berlangsungnya reaksi. Sehingga, semakin besar ΔH maka semakin besar juga energi yang dibutuhkan dan cost yang harus dikeluarkan. Sedangkan ΔH bernilai negatif (-) menunjukkan bahwa reaksi tersebut menghasilkan panas selama proses berlangsungnya reaksi. Sehingga tidak membutuhkan energi selama proses, namun membutuhkan energi untuk penyerapan panas agar reaksi tetap berlangsung pada temperatur reaksinya. Penentuan panas reaksi yang berjalan secara eksotermis atau endotermis dapat dihitung dengan perhitungan panas pembentukan standar (ΔH_f°) pada $P = 1 \text{ atm}$ dan $T = 298 \text{ K}$.

2.2.2.1 Proses Pembuatan Asetanilida dari Asam Asetat Anhidrid dan Anilin

Reaksi yang terjadi :



Berikut ini merupakan data energi pembentukan (ΔH_f°) pada P = 1 atm dan T = 298 K untuk masing-masing Komponen.

Tabel 2.2 Data Energi Pembentukan pada Tekanan 1 atm dan suhu 298 K

Komponen	$\Delta H_f^\circ 298$ (kJ/mol)
$(CH_3CO)_2O$	-625
$C_6H_5NH_2$	39,02
$C_6H_5NHCOCH_3$	-328,382
H_2O	-241,800

Sumber(Perry,2008),(Yaws,1996)

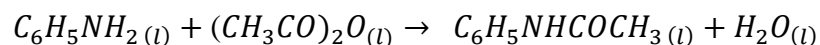
Diketahui data energi bebas Gibbs (ΔG_f°) pada Tekanan 1 atm dan suhu 298 K untuk masing masing komponen :

Tabel 2.3 Data Energi Gibbs pada Tekanan 1 atm dan suhu 298

Komponen	$\Delta G_f^{\circ} 298 \text{ (kJ/mol)}$
$(CH_3CO)_2O$	-389,95
$C_6H_5NH_2$	166,69
$C_6H_5NHCOCCH_3$	127,59
H_2O	-228,6

Sumber: (Yaws,1996)

Reaksi pada 298 K



$$(\Delta H_f^{\circ} 298k) = (\Delta H_{produk} - \Delta H_{reaktan})$$

$$(\Delta H_f^{\circ} 298k) = (\Delta H_{298} C_6H_5NHCOCCH_3 + \Delta H_{298} H_2O) -$$

$$(\Delta H_{298} C_6H_5NH_2 + \Delta H_{298} (CH_3CO)_2O)$$

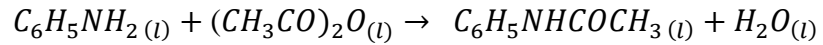
$$(\Delta H_f^{\circ} 298k) = \{(-328,382) + (-241,800)\} - \{(39,02) + (-625)\}$$

$$(\Delta H_f^{\circ} 298k) = (-570,182) - (-585,96)$$

$$(\Delta H_f^{\circ} 298k) = 15,776 \text{ kJ/mol}$$

$$(\Delta H_f^{\circ} 298k) = 15.766 \text{ kJ/Kmol}$$

$$\text{Nilai } (\Delta H_f^{\circ} 298k) = 15.766 \text{ kJ/Kmol}$$



$$(\Delta G_f^{\circ} 298k) = (\Delta G_{produk} - \Delta G_{reaktan})$$

$$(\Delta G_f^{\circ} 298k) = (\Delta G_{298} C_6H_5NHCOCH_3 + \Delta G_{298} H_2O) -$$

$$(\Delta G_{298} C_6H_5NH_2 + \Delta G_{298} (CH_3CO)_2O)$$

$$(\Delta G_f^{\circ} 298k) = \{(127,59) + (-228,6)\} - \{(166,69) + (-$$

$$389,950)\}$$

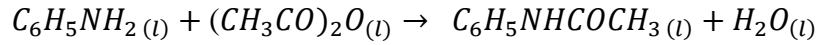
$$(\Delta G_f^{\circ} 298k) = (-101,01) - (-223,26)$$

$$(\Delta G_f^{\circ} 298k) = 122,25 \text{ kJ/mol}$$

$$(\Delta G_f^{\circ} 298k) = 122.250 \text{ kJ/Kmol}$$

$$\text{Nilai } (\Delta G_f^{\circ} 298k) = 122.250 \text{ kJ/Kmol}$$

Dari persamaan reaksi :



Maka untuk menentukan ΔH digunakan persamaan *Smith & Van*

Ness (4-4), (4-19) 6 edition pages 124 & 138.

$$\frac{Cp}{R} = A + BT + CT^2 + DT^{-2} \quad (2.1)$$

$$\int_{TO}^T \frac{\Delta Cp}{R} dT = ((\Delta A) + \frac{\Delta B}{2} To(\tau + 1) + \frac{\Delta C}{3} To^2(\tau^2 + \tau + 1) + \frac{\Delta D}{\tau To^2})(T - TO) \quad (2.2)$$

$$\text{Dimana : } \tau = \frac{T}{T_0}$$

$$\int_{T_0}^T \frac{\Delta Cp}{R} \frac{dT}{T} = \left[\tau A [\Delta B \cdot T_0 + (\Delta C \cdot T_0^2 + \frac{\Delta D}{\tau \cdot T_0^2}) \left(\frac{\tau-1}{\ln \tau} \right)] \right] x \ln \tau$$

(2.3)

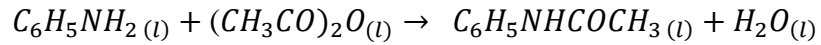
$$\Delta G^\circ = \Delta H^\circ - \frac{T}{T_0} (\Delta H^\circ - \Delta G^\circ) + R \int_{T_0}^T \frac{\Delta Cp}{R} dT - RT \int_{T_0}^T \frac{\Delta Cp}{R} \frac{dT}{T}$$

(2.4)

Tabel 2.4 Data Cp (kJ/Kmol.K) Masing Masing Komponen

Komponen	A	B	C	D
$(CH_3CO)_2O$	71,831	$8,8879 \times 10^{-1}$	$-2,6534 \times 10^{-1}$	$3,3501 \times 10^{-6}$
			3	
$C_6H_5NH_2$	63,288	$9,8960 \times 10^{-1}$	$-2,3583 \times 10^{-1}$	$2,3296 \times 10^{-6}$
			3	
$C_6H_5NHCOPH_3$	-	$7,8917 \times 10^{-1}$	0	-
	115,731			
H_2O	92,053	$-3,9953 \times 10^{-1}$	$-2,1103 \times 10^{-1}$	$5,3496 \times 10^{-7}$
		2	4	

Sumber: (Yaws,1999)



Sehingga dapat dihitung :

$$\Delta A = \sum A \text{ produk} - \sum A \text{ reaktan}$$

$$\Delta A = \{(-115,731) + (92,053)\} - \{(63,288) + (71,831)\}$$

$$\Delta A = (-23,6780) - (135,119)$$

$$\Delta A = -158,7970 \text{ kJ/Kmol.K}$$

$$\Delta B = \sum B \text{ produk} - \sum B \text{ reaktan}$$

$$\Delta B = \{(7,8917 \times 10^{-1}) + (-3,9953 \times 10^{-2})\} - \{(9,8960 \times 10^{-1}) + (8,8879 \times 10^{-1})\}$$

$$\Delta B = (0,7492) - (1,87839)$$

$$\Delta B = -1,1292 \text{ kJ/Kmol.K}$$

$$\Delta C = \sum C \text{ produk} - \sum C \text{ reaktan}$$

$$\Delta C = \{(0) + (-2,1103 \times 10^{-4})\} - \{(-2,3583 \times 10^{-3}) + (-2,6534 \times 10^{-3})\}$$

$$\Delta C = ((-2,1103 \times 10^{-4}) - (-0,0050117))$$

$$\Delta C = -0,0048 \text{ kJ/Kmol.K}$$

$$\Delta D = \sum D \text{ produk} - \sum D \text{ reaktan}$$

$$\Delta D = \{(0) + (5,3496 \times 10^{-7})\} - \{(2,3296 \times 10^{-6}) + (3,3501 \times 10^{-6})\}$$

$$\Delta D = 0 \text{ kJ/Kmol.K}$$

Untuk ΔH°_R pada suhu $110^\circ\text{C} = 383\text{ K}$ digunakan persamaan (2.2) :

$$\int_{T_0}^T \frac{\Delta Cp}{R} dT = ((\Delta A) + \frac{\Delta B}{2} T_o(\tau + 1) + (\frac{\Delta C}{3} T_o^2(\tau^2 + \tau + 1) + \frac{\Delta D}{\tau \cdot T_o^2})) (T - T_0)$$

$$\begin{aligned} \int_{T_0}^T \frac{\Delta Cp}{R} dT &= \left((-158,7970) + \frac{-1,1292}{2} \cdot 298 \left(\frac{383}{298} + 1 \right) + \right. \\ &\quad \left. \left(\frac{-0,0048}{3} \cdot 298^2 \left(\left(\frac{383}{298} \right)^2 + \frac{383}{298} + 1 \right) + \frac{0}{298 \cdot 298^2} \right) \right) \cdot (383 - 298) \end{aligned}$$

$$\int_{T_0}^T \frac{\Delta Cp}{R} dT = \{(-158,7970) + (-384,4926) + (443,73412) + (0)\} \times 85$$

$$\int_{T_0}^T \frac{\Delta Cp}{R} dT = 887,784$$

$$R \int_{T_0}^T \frac{\Delta Cp}{R} dT = 7.318,036 \text{ kJ}$$

Maka :

$$\begin{aligned} \Delta H_r &= \Delta H^\circ + R \int_{T_0}^T \frac{\Delta Cp}{R} dT && \text{(Smith et al.,} \\ &2001) \end{aligned}$$

$$\Delta H_r = 15.766 + 7.318,036$$

$$\Delta H_r = \mathbf{23.084,036 \text{ kJ/kmol}}$$

Untuk ΔG° pada suhu $110^\circ\text{C} = 383\text{ K}$ digunakan persamaan (2.4) :

$$\Delta G^\circ = \Delta H^\circ - \frac{T}{T_0} (\Delta H^\circ - \Delta G^\circ) + R \int_{T_0}^T \frac{\Delta Cp}{R} dT - RT \int_{T_0}^T \frac{\Delta Cp}{R} \frac{dT}{T}$$

(Pers 13.18 Hal 461, Smith et al., 2001)

$$\int_{T_0}^T \frac{\Delta Cp}{R} \frac{dT}{T} = \left[\tau A [\Delta B \cdot T_0 + (\Delta C \cdot T_0^2 + \frac{\Delta D}{\tau \cdot T_0^2}) \left(\frac{\tau-1}{\ln \tau} \right)] x \ln \tau \right]$$

$$\int_{T_0}^T \frac{\Delta Cp}{R} \frac{dT}{T} = [-158,7970 \left[-1,1292 \cdot 298 + \left(-0,0048 \cdot 298^2 + \right. \right.$$

$$\left. \left. \frac{0}{\frac{383}{298} \cdot 298^2} \right) \left(\frac{\frac{383}{298}+1}{\ln \frac{383}{298}} \right) \right] \left(\frac{\frac{383}{298}-1}{\ln \frac{383}{298}} \right) x \ln \frac{383}{298}$$

$$\int_{T_0}^T \frac{\Delta Cp}{R} \frac{dT}{T} = (-158,7970) x \{ ((-336,5016) + (-426,2592) + (0))$$

$$\times (1,2097) \} (1,1366) \times 0,2509$$

$$\int_{T_0}^T \frac{\Delta Cp}{R} \frac{dT}{T} = \{ (-158,7970)(-922,7117)(1,1366) \} \times (1,2097) \} \times 0,2509$$

$$\int_{T_0}^T \frac{\Delta Cp}{R} \frac{dT}{T} = 50.546,875$$

$$\text{Sehingga didapatkan } RT \int_{T_0}^T \frac{\Delta Cp}{R} \frac{dT}{T} = 420.246,719 \text{ kJ}$$

Maka :

$$\Delta G^\circ = \Delta H^\circ - \frac{T}{T_0} (\Delta H^\circ - \Delta G^\circ) + R \int_{T_0}^T \frac{\Delta Cp}{R} dT - RT \int_{T_0}^T \frac{\Delta Cp}{R} \frac{dT}{T}$$

$$\Delta G^\circ = 15,766 - \frac{383}{298} (15.766 - (122.250)) + (7.318,036)$$

$$- (420.246,719)$$

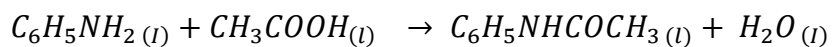
$$\Delta G^\circ = (15.776) - 27.423,92 - 412.928,683$$

$$\Delta G^\circ = \mathbf{-424.576,603 \text{ kJ/kmol}}$$

Berdasarkan hasil analisa diatas dapat disimpulkan bahwa enthalpi reaksi dan energi gibbs pabrik Asetanilida yang akan dibangun sebesar 23.084,036 kJ/kmol dan -424.576,603 kJ/kmol.

2.2.2.2 Proses Pembuatan Asetanilida dari Asam Asetat dan Anilin

Reaksi yang terjadi :



Berikut ini merupakan data energi pembentukan ((ΔH_f°)) pada P=1 atm dan T = 298 K untuk masing-masing komponen.

Tabel 2.5. Data Pembentukan pada Tekanan 1 atm dan suhu 298

Komponen	$\Delta H_f^\circ 298$ (kJ/mol)
CH_3COOH	-435,133
$C_6H_5NH_2$	39,02
$C_6H_5NHCOCCH_3$	-328,382
H_2O	-241,800

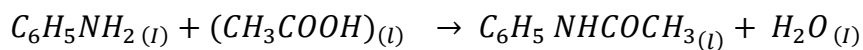
Sumber(Perry,2008),(Yaws,1996)

Diketahui data energi bebas Gibbs ((ΔG_f°)) pada Tekanan 1 atm dan suhu 298 K untuk masing masing komponen :

Tabel 2.6. Data Energi Gibbs pada Tekanan 1 atm dan suhu 298

Komponen	$\Delta G_f^{\circ} 298 \text{ (kJ/mol)}$
CH_3COOH	-389,900
$C_6H_5NH_2$	166,69
$C_6H_5NHCOCCH_3$	127,59
H_2O	-228,6
Sumber(Perry,2008),(Yaws,1996)	

Reaksi pada suhu 298 K



$$(\Delta H_f^{\circ} 298k) = (\Delta H_{produk} - \Delta H_{reaktan})$$

$$(\Delta H_f^{\circ} 298k) = (\Delta H_{298} C_6H_5NH_2 + \Delta H_{298} H_2O) -$$

$$(\Delta H_{298} C_6H_5NH_2 + \Delta H_{298} (CH_3COOH))$$

$$(\Delta H_f^{\circ} 298k) = \{(-328,382) + (241,800)\} - \{(39,02) + (-435,133)\}$$

$$(\Delta H_f^{\circ} 298k) = (-570,182) - (-396,113)$$

$$(\Delta H_f^{\circ} 298k) = -174,069 \text{ kJ/mol}$$

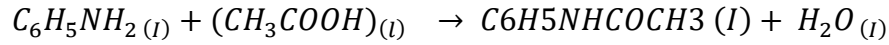
$$(\Delta H_f^{\circ} 298k) = -174.069 \text{ kJ/Kmol}$$

$$\text{Nilai } (\Delta H_f^{\circ} 298k) = -174.069 \text{ kJ/Kmol}$$

$$\begin{aligned}
& C_6H_5NH_2(l) + (CH_3COOH)(l) \\
& \rightarrow C6H5NHCOC(=O)CH_3(l) + H_2O(l) \\
(\Delta G_f^{\circ} 298k) & = (\Delta G_{produkt} - \Delta G_{reaktan}) \\
(\Delta G_f^{\circ} 298k) & = (\Delta G_{298} C_6H_5NHCOCH_3 + \Delta G_{298} H_2O) - \\
& (\Delta G_{298} C_6H_5NH_2 + \Delta G_{298} (CH_3COOH)) \\
(\Delta G_f^{\circ} 298k) & = \{(127,59) + (-228,6)\} - \{(166,69) + (- \\
& 389,900)\} \\
(\Delta G_f^{\circ} 298k) & = (-101,01) - (-223,21) \\
(\Delta G_f^{\circ} 298k) & = 122,2 \text{ kJ/mol} \\
(\Delta G_f^{\circ} 298k) & = 122.200 \text{ kJ/Kmol}
\end{aligned}$$

$$\text{Nilai } (\Delta G_f^{\circ} 298k) = 122.200 \text{ kJ/Kmol}$$

Dari persamaan reaksi :



Maka untuk menentukan ΔH digunakan persamaan *Smith & Van Ness* (4-4), (4-19) 6 edition pages 124 & 138.

$$\frac{C_p}{R} = A + BT + CT^2 + DT^{-2} \quad (2.1)$$

$$\begin{aligned}
\int_{TO}^T \frac{\Delta C_p}{R} dT & = ((\Delta A) + \frac{\Delta B}{2} To(\tau + 1) + \frac{\Delta C}{3} To^2(\tau^2 + \tau + 1) + \frac{\Delta D}{\tau, To^2})(T - \\
& TO) \quad (2.2)
\end{aligned}$$

$$\text{Dimana : } \tau = \frac{T}{T_0}$$

$$\int_{T_0}^T \frac{\Delta Cp}{R} \frac{dT}{T} = \left[\tau A [\Delta B \cdot T_0 + (\Delta C \cdot T_0^2 + \frac{\Delta D}{\tau \cdot T_0^2}) \left(\frac{\tau-1}{\ln \tau} \right)] \right] x \ln \tau \quad (2.3)$$

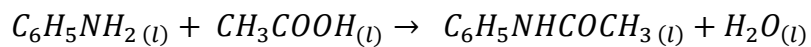
$$\Delta G^\circ = \Delta H^\circ - \frac{T}{T_0} (\Delta H^\circ - \Delta G^\circ) + R \int_{T_0}^T \frac{\Delta Cp}{R} dT - RT \int_{T_0}^T \frac{\Delta Cp}{R} \frac{dT}{T}$$

(2.4)

Tabel 2.7 Data Cp (kJ/Kmol.K) Masing Masing Komponen

Komponen	A	B	C	D
CH_3COOH	-18,944	$1,0971 \times 10^{-2}$	$-2,8921 \times 10^{-3}$	$2,9275 \times 10^{-6}$
$C_6H_5NH_2$	63,288	$9,8960 \times 10^{-1}$	$-2,3583 \times 10^{-3}$	$2,3296 \times 10^{-6}$
$C_6H_5NHCOCCH_3$	-115,731	$7,8917 \times 10^{-1}$	0	-
H_2O	92,052	$-3,9953 \times 10^{-2}$	$-2,1103 \times 10^{-4}$	$5,3469 \times 10^{-7}$

Sumber: (Yaws,1999)



Sehingga dapat dihitung :

$$\begin{aligned}
 \Delta A &= \sum A \text{ produk} - \sum A \text{ reaktan} \\
 \Delta A &= \{(-115,731) + (92,052)\} - \{(63,288) + \\
 &\quad (-18,944)\} \\
 \Delta A &= (-23,6790) - (44,344) \\
 \Delta A &= -68,0230 \text{ kJ/Kmol.K}
 \end{aligned}$$

$$\begin{aligned}
\Delta B &= \sum B \text{ produk} - \sum B \text{ reaktan} \\
\Delta B &= \{(7,8917 \times 10^{-1}) + (-3,9953 \times 10^{-2})\} - \{(9,8960 \times 10^{-1}) + \\
&\quad (1,0971 \times 10^{-2})\} \\
\Delta B &= (0,7492) - (44,344) \\
\Delta B &= -0,2514 \text{ kJ/Kmol.K} \\
\Delta C &= \sum C \text{ produk} - \sum C \text{ reaktan} \\
\Delta C &= \{(0) + (-2,1103 \times 10^{-4})\} - \{(-2,3583 \times 10^{-3}) + (- \\
&\quad 2,8921 \times 10^{-3})\} \\
\Delta C &= (-2,1103 \times 10^{-4}) - (-0,005) \\
\Delta C &= -0,005 \text{ kJ/Kmol.K} \\
\\
\Delta D &= \sum D \text{ produk} - \sum D \text{ reaktan} \\
\Delta D &= \{(0) + (5,3469 \times 10^{-7})\} - \{(2,3296 \times 10^{-6}) + \\
&\quad (2,9275 \times 10^{-6})\} \\
\Delta D &= 0 \text{ kJ/Kmol.K}
\end{aligned}$$

Untuk ΔH°_R pada suhu $150^\circ\text{C} = 423 \text{ K}$ digunakan persamaan (2.2) :

$$\int_{T_0}^T \frac{\Delta Cp}{R} dT = ((\Delta A) + \frac{\Delta B}{2} T_0(\tau + 1) + (\frac{\Delta C}{3} T_0^2(\tau^2 + \tau + 1) + \frac{\Delta D}{\tau \cdot T_0^2})) (T - T_0)$$

$$\int_{TO}^T \frac{\Delta Cp}{R} dT = \left((-68,0230) + \frac{-0,2514}{2} \times 298 \left(\frac{423}{298} + 1 \right) + \left(\frac{-0,005}{3} \times 298^2 \left(\left(\frac{423}{298} \right)^2 + \frac{423}{298} + 1 \right) + \frac{0}{\frac{423}{298} \times 298^2} \right) \right) (423 - 298)$$

$$\int_{TO}^T \frac{\Delta Cp}{R} dT = \{(-68,0230) + (-90,6297) + (-295,7955) + (0)\} \times 125$$

$$\int_{TO}^T \frac{\Delta Cp}{R} dT = -56.806,025$$

$$R \int_{TO}^T \frac{\Delta Cp}{R} dT = -472.285,084 \text{ kJ}$$

Maka :

$$\Delta H_r = \Delta H^\circ + R \int_{TO}^T \frac{\Delta Cp}{R} dT \quad (\text{Smith et al., 2001})$$

$$\Delta H_r = (-174.069) + (-472.285,084)$$

$$\Delta H_r = \mathbf{-646.354,084 \text{ kJ/mol}}$$

Untuk ΔG° pada suhu $150^\circ\text{C} = 423 \text{ K}$ digunakan persamaan (2.4) :

$$\Delta G^\circ = \Delta H^\circ - \frac{T}{TO} (\Delta H^\circ - \Delta G^\circ) + R \int_{TO}^T \frac{\Delta Cp}{R} dT - RT \int_{TO}^T \frac{\Delta Cp}{R} \frac{dT}{T}$$

(Pers 13.18 Hal 461, Smith et al., 2001)

$$\int_{TO}^T \frac{\Delta Cp}{R} \frac{dT}{T} = \left[\tau A [\Delta B \cdot TO + (\Delta C \cdot To^2 + \frac{\Delta D}{\tau \cdot To^2}) \left(\frac{\tau-1}{\ln \tau} \right)] x \ln \tau \right]$$

$$\begin{aligned}
\int_{T_0}^T \frac{\Delta Cp}{R} \frac{dT}{T} &= [-68,0230 \left[-0,2514 \times 298 \right. \\
&\quad \left. + \left(-0,005 \times 298^2 \right. \right. \\
&\quad \left. \left. + \frac{0}{\frac{423}{298} \cdot 298^2} \right) \left(\frac{\frac{423}{298} + 1}{2} \right) \right] \left(\frac{\frac{423}{298} - 1}{\ln \frac{423}{298}} \right) \times \ln \frac{423}{298} \\
\int_{T_0}^T \frac{\Delta Cp}{R} \frac{dT}{T} &= (-68,0230) \{ ((-74,9172) + (-444,02) \\
&\quad + (0)) x (1,2097) \} (1,1975) \times 0,3503 \\
\int_{T_0}^T \frac{\Delta Cp}{R} \frac{dT}{T} &= \{ (-68,0230) \times (-518,9372) \times (1,2097) \} \\
&\quad \times (1,1975) \} \times 0,3503 \\
\int_{T_0}^T \frac{\Delta Cp}{R} \frac{dT}{T} &= 17.912,818
\end{aligned}$$

Sehingga didapatkan $RT \int_{T_0}^T \frac{\Delta Cp}{R} \frac{dT}{T} = 148.927,173 kJ$

Maka :

$$\begin{aligned}
\Delta G_R &= \Delta H^\circ - \frac{T}{T_0} (\Delta H^\circ - \Delta G^\circ) + R \int_{T_0}^T \frac{\Delta Cp}{R} dT - RT \int_{T_0}^T \frac{\Delta Cp}{R} \frac{dT}{T} \\
\Delta G_R &= -174.069 - \frac{423}{298} (-174.069 - 122.200) + (-517.192,1158) \\
&\quad - (148.927,173)
\end{aligned}$$

$$\Delta G_R = (-174.069) - \{(1,4195)(-296.269) - (666.119,288)\}$$

$$\Delta G_R = (-174.069) - (-420.553,846) - (666.119,288)$$

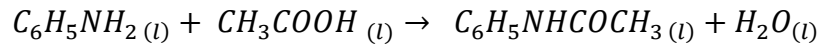
$$\Delta G_R = -419.634,442 \text{ kJ/mol}$$

Berdasarkan hasil analisa diatas dapat disimpulkan bahwa enthalpi reaksi dan energi gibbs pabrik Asetanilida yang akan dibangun sebesar -646.354,084 kJ/mol dan -419.634,442 kJ/mol.

2.2.3 Analisis Kinetik

Berdasarkan data kinetika dari penelitian yang dilakukan oleh David R. Merrill, and Elliot Q. Adams (1917) didapatkan nilai konstanta kecepatan reaksi untuk pembentukan Asetanilida dari Anilin dan Asam Asetat adalah $0,0089 \text{ kmol}/m^3\text{detik}$ pada suhu 150°C .

Reaksi pembuatan Asetanilida dijalakan dengan kinetika sebagai berikut:



Persamaan laju reaksi :

$$-r_A = k \cdot C_A^2$$

Keterangan :

r_A : Laju reaksi ($\text{kmol}/\text{m}^3 \text{jam}$)

K : Kinetika laju reaksi ($\text{kmol}/\text{m}^3 \text{s}$)

: 0,0089 (*Patent, 1917*)

C_a : Konsentrasi $C_6H_5NH_2$ (kmol/m^3)

2.2.4 Perbandingan Beberapa Parameter dan Kondisi Operasi

Dalam perancangan pabrik Asetanilida, proses produksi yang dipilih haruslah proses yang paling menguntungkan, baik itu ditinjau dari segi teknik maupun dari segi ekonomi. Dari dua jenis proses pembuatan asetanilida yang telah dijelaskan diatas, dapat dilihat perbandingan kedua proses tersebut pada Tabel 2.8.

Tabel 2.8. Perbandingan Kondisi Operasi Masing-Masing Proses

No	Parameter dan kondisi Operasi	Proses Pembuatan Asetanilida	
		1	2
1	Bahan Baku	Asam asetat anhidrat (import), Anilin (produk dalam negeri)	Asam Asetat (produk dalam negeri), Anilin (produk dalam negeri)
2	Jenis Reaktor	Reaktor Alir tangki Berpengaduk (RATB)	Reaktor Alir Tangki Berpengaduk (RATB)
3	Pelarut	Benzene (import)	Tidak Menggunakan

No	Parameter dan kondisi	Proses Pembuatan Asetanilida	
	Operasi	1	2
Pelarut			
4	Tekanan Operasi (atm)	1	2,5
5	Temperatur Reaksi (°C)	110	150
6	Konversi (%)	92	90
7	Perubahan Entalpi Standar (kJ/Kmol)	15.766	-174.069
8	Perubahan Entalpi Reaksi (kJ/Kmol)	23.084,036	-646.354,084
9	Energi Gibbs Standar (kJ/Kmol)	122.250	122.200
10	Energi Gibbs Reaksi (kJ/Kmol)	-424.576,603	-419.634,44
11	Biaya Bahan Baku/Tahun (\$,-/tahun)	50.015.653	35.871.333
12	Biaya Produk/tahun (\$,-/tahun)	76.928.000	76.928.000
13	Profit/tahun	26.912.347	41.056.667

Dari kedua jenis proses pembuatan asetanilida, proses yang dipilih adalah "proses pembuatan asetanilida dari anilin dan asam

asetat". Pertimbangan dipilihnya proses ini adalah sebagai berikut:

1. Bahan baku asam asetat yang digunakan lebih murah dan lebih mudah diperoleh karena diproduksi di dalam negeri.
2. Reaksi yang berlangsung secara eksotermis.
3. Proses lebih sederhana.
4. Tidak menggunakan pelarut benzene.
5. Keuntungan yang diperoleh dari perhitungan ekonomi potensial menghasilkan keuntungan yang lebih besar.

2.3 Uraian Singkat Proses Pembuatan Asetanilida

Pabrik Asetanilida ini di produksi dengan kapasitas 40.000 ton/tahun dari bahan baku anilin dan asam asetat yang akan beroperasi selama 24 jam perhari dalam 330 hari selama setahun. Secara garis besar pabrik ini terdiri dari proses reaksi, pemisahan dan kristalisasi, dan penyimpanan.

2.3.1 Tahap Persiapan Bahan Baku

Proses pembuatan asetanilida dengan mereaksikan asam asetat dan anilin. Tahap pertama bahan baku anilin dan asam asetat dengan fasa cair di simpan dalam tangki (ST-101) dan (ST-102).

Bahan baku tersebut keluar dari tangki dengan suhu 30 °C dan tekanan 1 atm, sebelum masuk ke dalam reaktor RE-01, masing-

masing bahan baku dialirkan melalui pompa (PP-101) dan (PP-102) untuk dinaikkan tekanannya sampai 2,5 atm dan dipanaskan pada heater (HE-101) dan (HE-102) hingga suhu mencapai 150 °C.

2.3.2 Tahap Reaksi

Bahan baku yang tekananya sudah dinaikkan serta dipanaskan sesuai dengan kondisi operasinya di umpankan ke reaktor. Reaksi berlangsung secara isothermal pada suhu 150 °C dan tekanan 2,5 atm (untuk mempertahankan fase cair) dan dijalankan di dalam Reaktor Tangki Berpengaduk (RE-01), Temperatur dalam reaktor dijaga konstan dengan menggunakan koil pendingin. Fungsi pengaduk disini adalah untuk mencampurkan semua bahan baku yang masuk sehingga semua tercampur dengan sempurna. Sedangkan, koil pendingin disini berfungsi sebagai penyerap panas, dan juga penstabil suhu pada reaktor karena reaksi antara asam asetat dan anilin merupakan reaksi eksotermis.

2.3.3 Tahap Pemisahan dan Kristalisasi

Hasil keluaran dari reaktor RE-01 berupa asetanilida, anilin, asam asetat dan air diumpulkan ke expansion valve (EXV-01) untuk menurunkan tekanan menjadi 1 atm dan selanjutnya

diumpulkan ke menara distilasi (MD-201) untuk mendapatkan konsentrasi asetanilida yang lebih baik dengan cara menguapkan reaktan yang tersisa (anilin dan asam asetat) juga mengurangi kandungan air pada asetanilida.

Kondisi operasi pada menara distilasi (MD-201) adalah suhu umpan masuk 150°C, suhu keluaran bawah distilasi 221°C, dan suhu keluaran atas menara distilasi 146°C seta tekanan 1 atm. Setelah itu hasil uap dari menara distilasi (MD-201) akan diumpulkan ke kondensor (CO-201) untuk mengubah fasa dari gas ke cair dan diumpulkan kembali menuju reaktor (RE-101). Pada aliran recyle akan melewati splitter (SP-201) dimana aliran akan dibagi menjadi dua untuk menghilangkan sebagian air untuk mencegah akumulasinya air kedalam reaktor. Hasil bawah dari menara distilasi (MD-201) yang berupa asetanilida dan anilin akan dialirkan ke crystallizer (CR-201) untuk mengkristalkan asetanilida.

Pembentukan butir-butir kristal asetanilida terjadi pada temperatur 60°C yang merupakan temperatur terendah untuk pembentukan kristal asetanilida berdasarkan sistem kelarutannya. Untuk menjaga temperatur selama proses kristalisasi, maka digunakan koil pendingin pada alat crystallizer.

Keluaran kristalizer akan membentuk slurry yang merupakan kombinasi antara kristal asetanilida yang terbentuk dengan kandungan larutan yang tersisa (mother liquor). Selanjutnya asetanilida diumpakan dengan screw conveyor (SC-201) ke rotary vaccum filter (RVF-201). Pada rotary vaccum filter (RVF-201), terjadi proses pemisahan mother liquor yang merupakan sisa larutan pasca proses kristalisasi dari kristal Asetanilida. Mother liquor yang terpisah kemudian dialirkan menuju crystallizer (CR-201) untuk dikristalkan kembali.

2.3.4 Tahap Penyimpanan

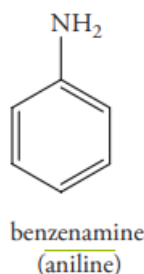
Sementara hasil pembentukan kristal asetanilida yang keluar dari rotary vaccum filter kemudian diangkut menggunakan belt conveyor (BC-301) dan bucket elevator (BE-301) menuju bin (BN-301) untuk penyimpanan produk sementara sebelum di ekspor ke pasar.

BAB III

SPESIFIKASI BAHAN BAKU DAN PRODUK

3.1 Spesifikasi Bahan Baku

3.1.1. Anilin



Gambar 3.1 Struktur Kimia Anilin

(Sumber: *Organic chemistry*, 2008)

Rumus kimia : C₆H₅NH₂

Berat molekul : 93,13 kg/kmol

Kemurnian : 98 %

Densitas : 1,022 kg/l

Wujud : Cair

Warna : Jernih

Titik didih : 184°C (1 atm) ; 223,0543°C (2,5 atm)

Titik leleh : -6,2°C (1 atm)

Temperatur kritis : 426°C

Tekanan kritis : 52,4 atm

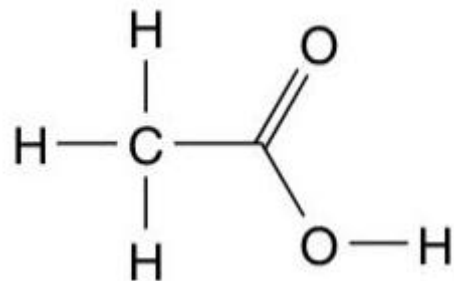
Panas pembakaran : 820 kkal/kmol

Panas penguapan : 103,68 kal/gr

Viskositas 20°C : 4,423 cP

(Kirk., and Othmer, 1981)

3.1.2. Asam Asetat



Gambar 3.2 Struktur Kimia Asam Asetat

(Sumber: *Physical chemistry*, 2008)

Rumus kimia : CH₃COOH

Berat molekul : 60,05 kg/kmol

Kemurnian : 99,8 %

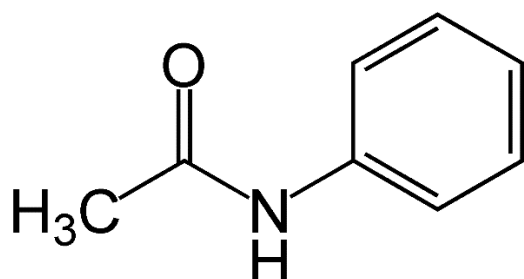
Densitas : 1,04928 kg/l

Wujud	: Cair
Warna	: Jernih
Titik didih	: 117-118°C (1 atm) ; 175,2273°C (2,5 atm)
Titik leleh	: 16,635°C (1 atm)
Temperatur kritis	: 321,6°C
Tekanan kritis	: 57,856 kpa
Panas penguapan	: 394,5 j/gr
Viskositas 20°C	: 11,83 cP

(Kirk., and Othmer, 1981)

3.2. Spesifikasi Produk

3.2.1. Asetanilida



Gambar 3.3 Struktur Kimia Asetanilida

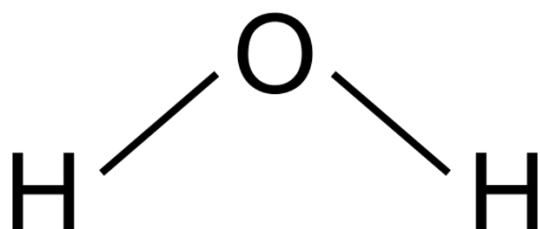
(Sumber: *Physical chemistry*, 2008)

Rumus kimia : C₆H₅NHCOCH₃

Berat molekul	: 135,16 kg/kmol
Kemurnian	: 99,5 %
Densitas	: 1,21 kg/l
Wujud	: Kristal
Warna	: Putih
Titik didih	: 305°C (1 atm) ; 352,1423°C (2,5 atm)
Titik leleh	: 113,7°C
Titik Kritalisasi	: 113-60°C
Impuritas	: - Kandungan anilin maksimum 0,3% - Kandungan asam asetat maksimum 0,03% - Kandungan air maksimal 0,05%

(Kirk., and Othmer, 1981)

3.2.2. Air



Gambar 3.4 Struktur Kimia Air

(Sumber: *Physical chemistry*, 2008)

Rumus kimia : H₂O

Berat molekul : 18,02 kg/kmol

Titik didih : 100°C

Titik beku : 0°C

Temperatur Kritis : 374,15°C

Tekanan Kritis : 217,62 atm

Tekanan uap : $16,2680 - \frac{3799,89}{T(\text{oC})+226,35}$ (Kpa)

$\Delta H_f^{\circ}{}_{298}$: -68,315 kkal/mol

Kapasitas panas : $3,470 + 1,450.T + 0,121 \cdot 10^5 T^{-2}$ (J/mol.K)

Wujud : Cair

Warna : Tidak bewarna

(Kirk., and Othmer, 1981)

BAB X

KESIMPULAN DAN SARAN

10.1 Simpulan

Berdasarkan hasil analisis ekonomi yang telah dilakukan terhadap Prarancangan Pabrik Asetanilida dari Anilin dan Asam Asetat dengan Kapasitas 40.000 ton/tahun dapat ditarik simpulan sebagai berikut:

1. *Percent Return on Investment* (ROI) sebelum pajak 28,51 % dan sesudah pajak 22,81 %.
2. *Pay Out Time* (POT) sebelum pajak 2,40 tahun dan sesudah pajak 3,02 tahun.
3. *Break Even Point* (BEP) sebesar 43,87% dimana syarat umum pabrik di Indonesia adalah 30 – 60% kapasitas produksi.
4. *Shut Down Point* (SDP) sebesar 20,99 %, yakni batasan kapasitas produksi 20 – 30% sehingga pabrik masih dapat berproduksi karena mendapat keuntungan.
5. *Discounted Cash Flow Rate of Return* (DCF) sebesar 47,98%, lebih besar dari suku bunga bank sekarang sehingga investor akan lebih memilih untuk berinvestasi ke pabrik ini dari pada ke bank.

10.2 Saran

Berdasarkan hasil kesimpulan diatas, Prarancangan Pabrik Asetanilida dari Anilin dan Asam Asetat dengan Kapasitas 40.000 ton/tahun sebaiknya dikaji lebih lanjut baik dari segi proses maupun ekonominya sebelum didirikan.

DAFTAR PUSTAKA

Aries, R.S., and Newton, R.d., 1995, "Chemical Engineering Cost Estimation",

McGraw Hill Company, New York

Bachus, L and Custodio, A. 2003. Know and Understand Centrifugal Pumps. Bachus Company, Inc. Oxford: UK.

Banchero, Julius T., and Walter L. Badger. 1988. Introduction to Chemical Engineering. McGraw Hill : New York.

bpsdm.pu.go.id diakses pada 09 September 2023

Brown, G.George. 1950. Unit Operation 6ed. Wiley & Sons; USA.

Brown.G.George., 1956, Unit Operation 6ed, Wiley & Sons, USA.

Brownell.L.E. and Young.E.H., 1979, Process Equipment Design 3ed, John Wiley & Sons, New York.

Brownell.L.E. and Young.E.H, 1959, Process Equipment Design 3ed, John Wiley & Sons, New York.

Cheremisinoff, N.P. 2002. Handbook of Water and Wastewater Treatment Technologies. Butterworth-Heinemann: USA

Coulson.J.M. and Richardson.J.F., 1989, Chemical Engineering vol 6,
Pergamon Press Inc, New York

Coulson.J.M. and Richardson.J.F., 1983, Chemical Engineering vol 6,
Pergamon Press Inc, Oxford

Elliott WT. 2018. Alkyd Resins. *Chem. Resist. Thermosets.*:1006–
1014.doi:10.1016/b978-0-12-814480-0.00007-7.

Erickson DR. 1995. *Degumming and Lecithin Processing and Utilization*.
AOCS Press.

E Patent CN107033311A. Toluene di-isocyanate (TDI) modified alkyd resin
and preparation method. Agustus 2017.

Fogler, S. 1965. Elements of Chemical Reaction Engineering. New
Jersey: Prentice Hall, Inc.

Fogler, H.S., 1999, Elements of Chemical Reaction Engineering, 3rd
edition,

Prentice Hall P.T.R, New Jersey

Geankolis, Christie J. 1993. Transport Processes and Unit Operations 3 rd
edition. Prentice Hall : New Jersey.

Himmeblau, David, 1996, Basic Principles and Calculation in Chemical
Engineering, Prentice Hall Inc, New Jersey.

Hougen, Olaf A., Watson, Kenneth M. 1947 .“Chemical Process Principles”. New

York : John Wiley & Sons, Inc

<https://www.bps.go.id>, diakses pada 13 September 2023

<https://www.bi.go.id/id/statistik/informasi-kurs/transaksi-bi/kalkulator-kurs.aspx>, diakses pada 10 Oktober 2023

<https://kemenperin.go.id/direktori-perusahaan?what=cat&prov=35>, diakses pada 13 September 2023

<http://www.matche.com>, diakses tanggal 01 Oktober 2023.

<http://www.chemengonline.com/pci/>, diakses tanggal 01 Oktober 2023

Igbo UE, Igwe CC, Akubueze E, Ishiola OR, Odusote AO, Oyewole AO.
2014. Utilisation of Beniseed Oil for the Production of Alkyd Resin.

IOSR J. Appl. Chem. 7(5):104–106.doi:10.9790/5736-0753104106.

IOSR Journal of Applied Chemistry No. 2278-5736. Utilisation of Beniseed Oil

For The Production of Alkyd Resin. Mei 2014.

Indonesia. Undang-Undang Republik Indonesia, UU No. 41 Tahun 1999
Pada pasal 15 ayat 2, Tentang Larangan Praktek Monopoli Dan
Persaingan Usaha Tidak Sehat.

Joshi, M.V. 1987. Process Equipment Design

Jones, A. 2002. *Crystallization Process System 1st Edition.* Butterworth-Heinemann

Kern.D.Q., 1983, Process Heat Transfer, McGraw-Hill Book Company, New York.

Kern.D.Q., 1965, Process Heat Transfer, McGraw-Hill Book Company, New York.

Levenspiel,O,1999, “Chemical Reaction Engineering”, 3rd edition. John Wiley

Lin CY, Ma L. 2021. Comparison of water-removal efficiency of molecular sieves vibrating by rotary shaking and electromagnetic stirring from feedstock oil for biofuel production. *Fermentation.* 7(3).doi:10.3390/fermentation7030132.

and Sons : New York

Ludwig E. Ernest., 1984, Applied Process Design for Chemical and Petrochemical Plants vol II, Gulf Publishing Company, Houston.

McCabe, W. L. & Smith, J. M., 1999. Unit Operation of Chemical Engineering, 4 th ed., McGraw Hill Book Company, Singapore.

McCabe W.L. and Smith J.C., 1985, Operasi Teknik Kimia, Erlangga, Jakarta.

Megyesy.E.F., 1983, Pressure Vessel Handbook, Pressure Vessel Handbook Publishing Inc, USA.

Merrill, D. R., & Adams, E. Q. (1917). THE HYDROLYSIS OF ACETANILIDE. *Journal of the American Chemical Society*, 39(8), 1588-1598.

Missen, R.W., Mims. C.A., & Saville, B. A., 1999, "Introduction to Chemical

Reaction Engineering and Kinetics", John Wiley and Sons Inc, USA

Meliana N, Harnesa Putri S, Mardawati E. 2019. Optimasi Kondisi Acid Degumming Pada Proses Produksi Lesitin Dari Cpo. *J. Ind. Pertan.* 01(03):70–76.

Moss, Dennis R., 2004. Pressure Vessel Design Manual 3rd Edition. Elsevier

Publishing Inc., USA

Onukwuli OD UC, Emeka M. 2015. Kinetics of Castor Oil Alkyd Resin Polycondensation Reaction. *J. Chem. Eng. Process Technol.* 06(04).doi:10.4172/2157-7048.1000240.

Peter, M.S., and Timmerhans, E.D., 1980, Plant Design and Economics for Chemical Engineers, 3rded., Mc Graw Hill Book Company, Singapore.

Peter.M.S. and Timmerhause.K.D, 1991, Plant Design an Economic for Chemical Engineering 3ed, McGraww-Hill Book Company, New York.

Perry.R.H. and Green.D, 1997, Perry's Chemical Engineer Handbook 7th ed , McGraw-Hill Book Company, New York.

Perry.R.H. and Green.D, 1973, Perry's Chemical Engineer Handbook 5th ed , McGraw-Hill Book Company, New York.

Powell, S.T., 1954, "Water Conditioning for Industry", McGraw-Hill Book Company, Tokyo.

Reid, C., Prausnitz, J.M. 1987. The Properties of Gases and Liquids. Ed. 4th. Mc Graw-Hill. New York.

Rase, H.F., 1977, Chemical Reactor Design for Process Plant, John Willey and Sons Inc., New York.

Richard D., O'Brien., Fat and Oil., New York: CRC Press., 2009

Research Journal in Engineering and Applied Sciences No. 2276-8467.

Synthesis

and Characterization of Palm Oil Based Air Drying Alkyd Resin For Surface Coating. 2013.

Ronald W. Rousseau. 1987. Handbook of Separation Process Technology.

John

Wiley and Sons Inc., New York

Smith. J.M. and Van Ness. H. C., 2001, Introduction to Chemical Engineering Thermodynamics 6th, McGraw-Hill Inc, New York.

Ulrich.G.D., 1984, A Guide to Chemical Engineering Process Design and Economics. John Wiley & Sons Inc, New York.

Van Gerpen J. 2005. Biodiesel processing and production. *Fuel Process. Technol.* 86(10):1097–1107.doi:10.1016/j.fuproc.2004.11.005.

Wallas. S.M., 1988, Chemical Process Equipment, Butterworth Publishers,

Stoneham USA.

Wallas, S.M., 1990. Chemical Process Equipment. 3rd ed. Butterworth-Heinemann

Series in Chemical Engineering, USA.

www.atbbatam.com diakses pada 09 September 2023

www.ocw.ui.ac.id diakses pada 09 September 2023

www.jurnal.um-palembang.ac.id. diakses pada 09 September 2023

www.water.me.vccs.edu, diakses pada 13 September 2023

www.icispricing.com, diakses pada 20 September 2023

Yaws, C.L., 1999, Chemical Properties Handbook, Mc Graw Hill Book Co.,
New York